

Universität Stuttgart

Prof. Dr. Frank Gießelmann

Institut für Physikalische Chemie
Pfaffenwaldring 55
D-70569 Stuttgart

Telefon
(0711) 685-64460
Telefax
(0711) 685-62569
e-mail
f.giesselmann@ipc.uni-stuttgart.de

PC V: Physikalische Chemie der Festkörper

Vorlesung im WS 2008/09

- 1 Einführung**
Inhalt und Zielsetzung der Vorlesung, Kristallsymmetrie und physikalische Eigenschaften (Neumannsches Prinzip)
- 2 Thermodynamik fester Körper**
Wiederholung und Erweiterung der phänomenologischen Thermodynamik (thermodynamische Potentiale, Flüsse, Kräfte und Suszeptibilitäten), thermodynamische Behandlung des elastischen Festkörpers im elektrischen Feld, thermodynamische Behandlung von Phasenumwandlungen, Kritik der Ehrenfestschen Klassifikation
- 3 Dielektrische Eigenschaften**
Polarisierbarkeit und Dipolmoment, induzierte Polarisation (inneres Feld, Clausius-Mosotti-Beziehung, Debye-Gleichung), Dispersion und Absorption (quasielastisch gebundenes Elektron, Debye-Relaxation, Orientierungs-, Atom- und elektronische Polarisation, dielektrische Spektroskopie, Kramers-Kronig-Relation), spontane Polarisation (Piezo-, Pyro- und Ferroelektrika, Landau-Theorie ferroelektrischer Phasenumwandlungen)
- 4 Grenzflächeneigenschaften**
Thermodynamik der Grenzflächen, Oberflächenspannung, Kontaktwinkel und Benetzung, zweidimensionale Oberflächenfilme, Adsorption an Festkörperoberflächen (Physi- und Chemisorption, Langmuir-, Freundlich- und BET-Isotherme, isostere Adsorptionenthalpie)
- 5 Festkörperelektrochemie**
Elektrisch geladene Phasengrenzen, elektrische Doppelschichten (Helmholtz, Gouy-Chapman, Stern), Elektrokapillarität, Ionenleitung in Festelektrolyten, Impedanzspektroskopie, Protonenleitung, Brennstoffzellen

Literatur:

- *Lehrbücher der Physikalischen Chemie*
- St. Elliott: *The Physics and Chemistry of Solids*, Chichester (Wiley) 1998.
- Ch. Kittel: *Einführung in die Festkörperphysik*, München (Oldenbourg) 1988. *Dielekt*
- A. R. West: *Solid State Chemistry and its Applications*, Chichester (Wiley) 1984.
- J. F. Nye: *Physical Properties of Crystals*, Oxford University Press 1985

1. Einführung

1.1 Kristallogrammetrie

Erklanger
- amorph (Glaser, Polymere, ...)
- kristallin: regelmaiger 3D Aufbau
(+ charakteristische Defekte)



Kristallogrammetrie



Anisotropie und Symmetrie
physikalische Eigenschaften

moderne Definition des Symmetriebegriffs: (H. Weyl)

„Symmetrie ist im Objekt (Molekul, Kristall, physikalische Gesetz...),
wenn man es transformieren kann (spiegeln, drehen, ...) und
im Ergebnis dasselbe erhalt, womit man begonnen hat.“

Invarianten (eines Objekts) bzgl. bestimmter Transformationen
(Symmetrieelemente)
spiegelebene

Symmetrieelement: Achse Punkte die ihre Position bei Symmetrieelementen nicht andern

Symmetrieelement:

Menge der Punkte, die bei der Symmetrieelemente ihre Lage im Raum nicht andert.



Zusammenfassung 7 verschiedene Symmetrioperationen bzw. -elemente

Identitätsoperation	E	$\left. \begin{array}{l} \text{in Kristalle} \\ n = 2, 3, 4, 6 \text{ (Raumfüllung)} \end{array} \right\}$	$\left. \begin{array}{l} \text{Quasikristalle } n=5 \text{ möglich} \\ \text{„elementare Symmetrioperationen“} \end{array} \right\}$
Drehung	C_n		
Spiegelung	σ		
Inversion	i		

Drehspiegelung	S_n	$\left. \begin{array}{l} \text{„zusammengesetzte Symmetrioperationen“} \end{array} \right\}$
Gleitspiegelung Translation + Spiegelung	σ_h	
Schraubung Translation + Drehung	C_n	

E, C_n, σ, i, S_n : Punktsymmetrioperationen, da mindestens 1 Punkt (Kristallschwerpunkt) raumfest bleibt

σ_h, \bar{C}_n : Raumsymmetrioperationen, da zusätzlich zur Punktsymmetrie eine Verschiebung im Raum

\Rightarrow Punktgruppe: Kombination aller Punktsymmetrioperationen eines Objekts

\Rightarrow 32 kristallographische Punktgruppen (Kristallklassen) [Hessel 1830]

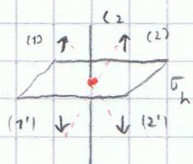
Raumgruppe: Kombination aus Punktgruppe und Translationsoperation

\Rightarrow 230 kristallographische Raumgruppen [Fedorov, Schönflies 1891]

Anmerkung

σ_h ← horizontal

1.)



↳ Nur bestimmte Kombinationen von Symmetrien möglich

Bsp. Kombination von C_2 mit σ_h stets auch im Symmetriezentrum i erforderlich

2. Aufeinanderfolgende Aufhebungen zweier Symmetriegruppen einer Gruppe liefert stets wieder eine Symmetriegruppe ihrer Gruppe ("Abgeschlossenheit")

1.2 Kristallsymmetrie u. physik. Eigenschaften

Franz Neumann (Königsberg 1838)

erstes Symmetrieprinzip der modernen Physik

Die Symmetrieelemente jeder physikalischen Eigenschaft müssen alle Symmetrieelemente des Kristalls einschließen
 der Punktgruppe

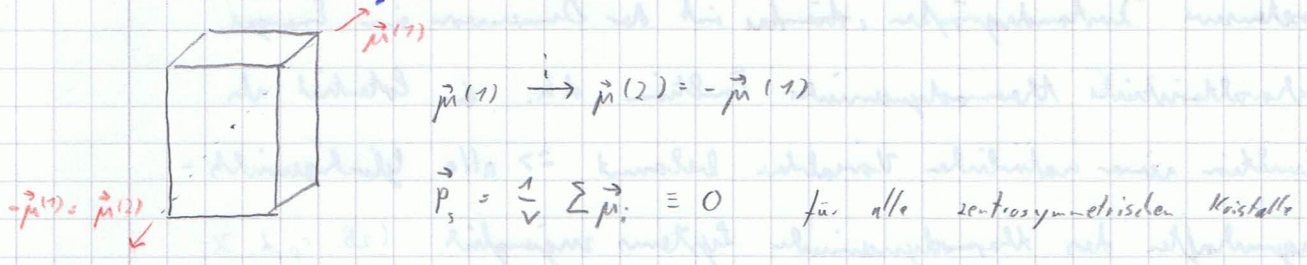
oder: $IK \subseteq IP$

Menge der Symmetrieelemente

- (i) nur Punktsymmetrie, da physikalische Eigenschaften translationsinvariant
 (ii) physik. Eigenschaft darf höhere Symmetrie als die Kristallstruktur aufweisen

Beispiele:

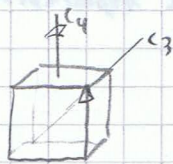
- (i) Zentrosymmetrische Kristalle können eine spontane elektr. Polarisation besitzen (Lyra- oder Ferroelektrika)



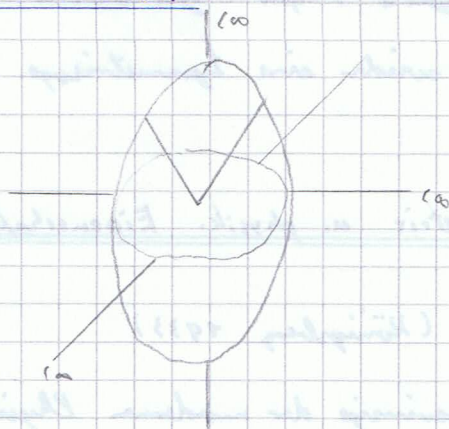
Zubische Kristalle sind optisch isotrop!

Rest ist Doppelbrechung

(ii) optische Isotropie kubischer Kristalls



Raumdiagonale



Indikatrix

$c_1, c_2, c_3 \in c_\infty$

Kristall

physikalische Eigenschaften

Kugel \rightarrow isotrop

Ellipsoid \rightarrow doppelseitig

Eigenschaftssymmetrie höher als Kristallsymmetrie

Tensor 2. Stufe \rightarrow Isotrop (Wärmeausdehnung...)

(iii) thermischer Ausdehnungskoeffizient eines kubischen Kristalls muss in allen Richtungen gleich sein, sonst würde der Kristall bei einer Erwärmung seine kubische Symmetrie sofort verlieren ($a=b=c$)

2. Thermodynamik fester Körper

2.1 Thermodynamische Potentiale, Kräfte und Suszeptibilitäten

(reguläre Darstellung, vgl. PC 1a)

Thermodynamische Potentiale (U, H, F, G, \dots)

- extensive Zustandsgrößen, daher mit der Dimension einer "Energie"
- charakteristisches thermodynamische Funktion, d.h. ein Potential als Funktion seiner natürlichen Variablen bekannt \Rightarrow alle Gleichgewichtseigenschaften des thermodynamischen Systems zugänglich (z.B. c_p, α, χ)

Arbeitskoeffizient + intensiv

1. Hauptsatz: $U = Q + W$

$dU = \delta Q + \delta W \leftarrow$ Arbeit $\delta W = F \cdot dl$

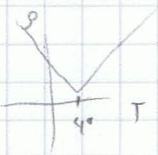
Arbeitskoordinaten

2. Hauptsatz: $(\delta Q)_{rev} = T ds$

$\hookrightarrow \delta W = \sum_i \lambda_i \cdot dl_i$

λ : Arbeitskoeffizient (intensiv)
generalised force
thermodynamische Kraft

l : Arbeitskoordinat (extensiv)
generalised displacement
thermodynamische Variable / Fluss
irreversibel



Arbeitsform	λ :	l :
mech (Druck-Volumen)	$-p [N/m^2]$	$V [m^3]$
mech (Elastizität)	$G [N/m^2]$	$E_v = V \cdot \epsilon [m^2]$
magn.	$\vec{B} [Vs/m^2]$	$\vec{M}_v = V \cdot \vec{M}$ <small>Summe aller magnetischen Momente</small> $[Am^2]$
elct.	$\vec{E} [Vm^{-1}]$	$\vec{P}_v = V \vec{P}$ $P = \frac{1}{V} \sum p_i [As/m]$
chem.	$\mu_j [J/mol]$	$n_j [mol]$

thermodynamisch konjugierte Größen
Produkt hat Dimension Energie

1. Hauptsatz:

isotrop \rightarrow enthält $-pdV$

$$dU = T dS + \underbrace{G}_{\text{elastisch}} dE_v + \underbrace{\vec{E}}_{\text{elct.}} d\vec{P}_v + \underbrace{\vec{B}}_{\text{magnetisch}} d\vec{M}_v + \sum_{j=1}^r \mu_j dn_j + \dots$$

$U(S, E_v, \vec{P}_v, \vec{M}_v, n_j)$ natürliche Variablen

weitere Potentiale:

Enthalpie: $H \equiv U - \sum \lambda_i l_i$ $(\log H = U + pV)$

Freie Energie: $A \equiv U - TS$

Freie Enthalpie: $G \equiv H - TS$
 $= U - \lambda_i l_i - TS$

statistisch isotrop

Betrachte isotropen FK (Glas, polykristallines FK), der nur Volumenarbeit mit seiner Umgebung austauscht.

$dV \neq 0 \quad dP = 0 \quad dM = 0 \quad dn_j = 0$

$U(T, P)$ möglich, aber nicht alle anderen thermodynamischen Größen besitzen ein Potential

innere Energie: $dU = T dS - p dV \Rightarrow U = U(S, V)$
 $= \left(\frac{\partial U}{\partial S} \right)_V dS + \left(\frac{\partial U}{\partial V} \right)_S dV$
natürliche Variablen von U

Enthalpie: $H \equiv U - \lambda \cdot l; \quad \xrightarrow{\text{hier}} \quad H \equiv U + pV$

$\hookrightarrow dH = dU + p dV + V dp = \underbrace{T dS - p dV}_{dU} + p dV + V dp$

$dH = T dS + V dp \quad \Rightarrow \quad H = H(S, p)$

$U(S, V) \rightarrow H(S, p)$

Kontakttransformation

$p = - \left(\frac{\partial U}{\partial V} \right)_S = \text{Steigung}$

Legendre-Transformation

Variable wird durch Steigung ersetzt

Freie Energie: $F \equiv U - TS$

↑ statistische Thermodynamik

$dF = dU - T dS - S dT = \underbrace{T dS - p dV}_{dU} - T dS - S dT$

$dF = -p dV - S dT \quad \Rightarrow \quad F = F(V, T)$

$F = kT \ln Q$

← Zustandssumme

Freie Enthalpie: $G \equiv H - TS$

$dG = dH - T dS - S dT = V dp - S dT$

$dG = V dp - S dT \quad \Rightarrow \quad G = G(p, T)$

exp. leicht zugängliche Zustandsvariablen

thermod

$U(S, V), H(S, p), F(T, V), G(T, p) \dots$ werden als

thermodynamische Potentiale oder charakteristische thermodynamische Funktionen bezeichnet, wenn sie als Funktion ihrer jeweiligen natürlichen Variablen bekannt sind.

\Rightarrow enthalten vollständig thermodynamische Information!

$G(T, V)$ möglich aber kein chemisches Potential!

generalisierte Kräfte: $\lambda_i \sim \left(\frac{\partial \phi}{\partial \lambda_i} \right)$ extensiv
intensiv extensiv

generalisierte Verschiebung: $l_i \sim \left(\frac{\partial \phi}{\partial l_i} \right)$ extensiv
extensiv intensiv

1. Ableitungen eines thermodynamischen Potentials

$$\begin{aligned}
 dU &= T dS - p dV \\
 &= \left(\frac{\partial U}{\partial S} \right)_V dS + \left(\frac{\partial U}{\partial V} \right)_S dV
 \end{aligned}$$

Kraft
Verschiebung

für ein einfaches System:

$$p = - \left(\frac{\partial U}{\partial V} \right)_S = - \left(\frac{\partial F}{\partial V} \right)_T$$

$$T = \left(\frac{\partial U}{\partial S} \right)_V = \left(\frac{\partial H}{\partial S} \right)_p$$

$$V = \left(\frac{\partial H}{\partial p} \right)_S = \left(\frac{\partial G}{\partial p} \right)_T$$

$$S = - \left(\frac{\partial F}{\partial T} \right)_V = - \left(\frac{\partial G}{\partial T} \right)_p$$

generalisierte Kräfte

generalisierte Verschiebung

generalisierte Suszeptibilitäten

Änderung einer Verschiebung l_i durch eine konjugierte Kraft

$$\chi_i \sim \left(\frac{\partial l_i}{\partial \lambda_i} \right) = \left(\frac{\partial^2 \phi}{\partial \lambda_i^2} \right)$$

$\leftarrow \frac{\partial \phi}{\partial \lambda_i}$

Ausdehnung, Kompressibilität, ...

2. Ableitungen des thermodynamischen Potentials nach generalisierten Kräften

Beispiele:

Kompressibilität

$$\alpha_T = - \frac{1}{V} \left(\frac{\partial V}{\partial p} \right)_T \quad \text{isotherm} \quad = - \frac{1}{V} \left(\frac{\partial^2 G}{\partial p^2} \right)_T$$

mechanisch

$$\alpha_S = - \frac{1}{V} \left(\frac{\partial V}{\partial p} \right)_S \quad \text{adiabatisch} \quad = - \frac{1}{V} \left(\frac{\partial^2 H}{\partial p^2} \right)_S$$

Wärmekapazität

$$c_p = \left(\frac{\partial Q}{\partial T} \right)_p = T \left(\frac{\partial S}{\partial T} \right)_p = - T \left(\frac{\partial^2 G}{\partial T^2} \right)_p > 0$$

$c_p > 0$ sonst Wärmerückfluss

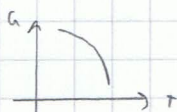
→ niedrigerer T

thermisch

$$c_v = \left(\frac{\partial Q}{\partial T} \right)_V = T \left(\frac{\partial S}{\partial T} \right)_V = - T \left(\frac{\partial^2 F}{\partial T^2} \right)_V > 0$$

→ stärkere Wärmerückfluss

→ Nullpunkt



$$\left(\frac{\partial G}{\partial T} \right) = -S < 0 \quad \left(\frac{\partial^2 G}{\partial T^2} \right) < 0$$

steilere Krümmung

thermische Ausdehnung

$$\alpha_p = \frac{1}{V} \left(\frac{\partial V}{\partial T} \right)_p = \frac{1}{V} \left(\frac{\partial^2 G}{\partial T \partial p} \right)$$

gemischte 2. Ableitungen

thermomechanisch

Compressibilität sind charakteristische Materialeigenschaften!

Maxwell-Beziehungen

Potentiale U, H, F, G, \dots sind Zustandfunktionen

→ Satz von Schwarz: Reihenfolge gemischte Ableitungen vertauschbar!

$$U(S, V) \left[\frac{\partial}{\partial V} \left(\frac{\partial U}{\partial S} \right)_V \right]_S = \left[\frac{\partial}{\partial S} \left(\frac{\partial U}{\partial V} \right)_S \right]_V$$

$$\left(\frac{\partial T}{\partial V} \right)_S = - \left(\frac{\partial p}{\partial S} \right)_V \quad \underline{\left(\frac{\partial V}{\partial T} \right)_S = - \left(\frac{\partial S}{\partial p} \right)_V}$$

analog:

- am $H(S, p)$ $\left(\frac{\partial T}{\partial p} \right)_S = \left(\frac{\partial V}{\partial S} \right)_p$

- am $G(T, p)$ $\left(\frac{\partial S}{\partial p} \right)_T = - \left(\frac{\partial V}{\partial T} \right)_p$

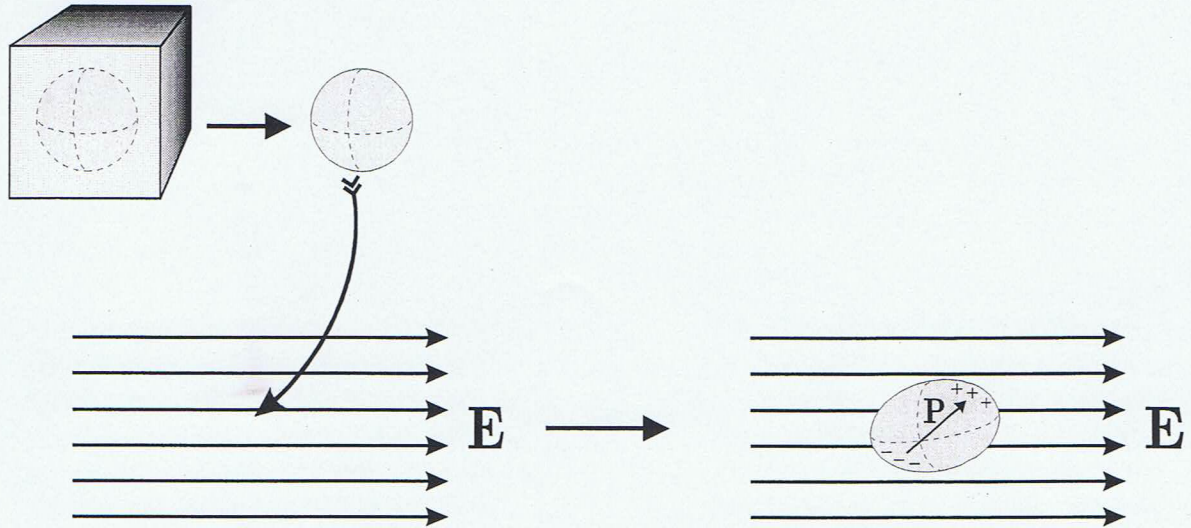
- am $F(T, V)$ $\left(\frac{\partial S}{\partial V} \right)_T = \left(\frac{\partial p}{\partial T} \right)_V$

Bsp.: Wie ändert sich die Entropie S eines Glases bei isothermer Druckentlastung?

$$\left(\frac{\partial S}{\partial p} \right)_T = - \left(\frac{\partial V}{\partial T} \right)_p = - \underline{\underline{\alpha_p V}} \quad \approx \text{Messung von } \alpha$$

2.2 Thermodynamik des polarisierten elastischen Festkörpers

- Feldeffekte:



(a) Elektrische Polarisation

(b) Gestaltsänderung

i. *isotrope* Volumenänderung: "Elektrostriktion" $\propto E^2$

ii. *anisotrope* Deformation: "Piezoelektrizität" $\propto E$

(c) Temperaturänderung (adiabatischer Elektrisierung)

bzw. Entropieänderung (isotherme Elektrisierung)

- Elektrische Arbeit

$$dW = V E_i dP_i \quad \begin{array}{l} E_i: \text{ elektr. Feldvektor (äußeres Feld)} \\ P_i: \text{ elektr. Polarisationsvektor} \\ V: \text{ Volumen} \end{array}$$

- Mechanische Arbeit

$$dW = V \sigma_{ij} d\varepsilon_{ij} \quad \begin{array}{l} \sigma_{ij}: \text{ Spannungstensor} \\ \varepsilon_{ij}: \text{ Dehnungstensor} \end{array}$$

- Wärme

$$dQ = T dS \quad \begin{array}{l} T: \text{ Temperatur} \\ S: \text{ Entropie} \end{array}$$

• **Unabhängige Zustandsgrößen:**

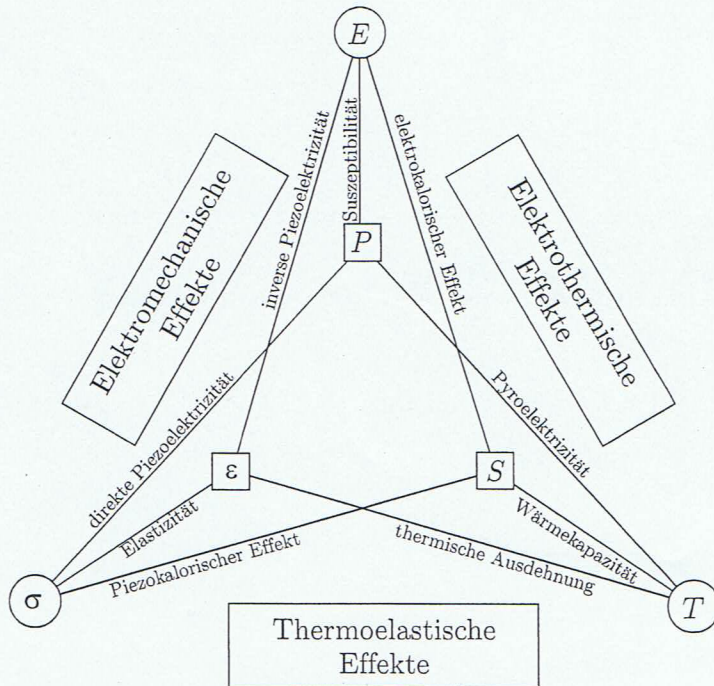
Arbeitskoeffizienten E_i, σ_{ij} und Temperatur T (**intensiv**)

• **Änderungen der Arbeitskoordinaten ϵ_{ij}, P_i und der Entropie S (**extensiv**):**

$$d\epsilon_{ij} = \underbrace{\left(\frac{\partial \epsilon_{ij}}{\partial \sigma_{kl}}\right)_{E,T}}_{\text{Elastizität}} d\sigma_{kl} + \underbrace{\left(\frac{\partial \epsilon_{ij}}{\partial E_k}\right)_{\sigma,T}}_{\text{inverser Piezoeffekt}} dE_k + \underbrace{\left(\frac{\partial \epsilon_{ij}}{\partial T}\right)_{\sigma,E}}_{\text{thermische Ausdehnung}} dT$$

$$dP_i = \underbrace{\left(\frac{\partial P_i}{\partial \sigma_{jk}}\right)_{E,T}}_{\text{direkter Piezoeffekt}} d\sigma_{jk} + \underbrace{\left(\frac{\partial P_i}{\partial E_j}\right)_{\sigma,T}}_{\text{elektrische Suszeptibilität}} dE_j + \underbrace{\left(\frac{\partial P_i}{\partial T}\right)_{\sigma,E}}_{\text{Pyroelektrizität}} dT$$

$$dS = \underbrace{\left(\frac{\partial S}{\partial \sigma_{ij}}\right)_{E,T}}_{\text{piezokalorischer Effekt}} d\sigma_{ij} + \underbrace{\left(\frac{\partial S}{\partial E_i}\right)_{\sigma,T}}_{\text{elektrokalorischer Effekt}} dE_i + \underbrace{\left(\frac{\partial S}{\partial T}\right)_{\sigma,E}}_{\text{Wärmekapazität}} dT$$



vgl.: J. F. Nye: "Physical Properties of Crystals", Oxford (Clarendon) 1985.

- **Thermodynamisches Potential:**

- Verallgemeinerte Gibbs'sche Hauptgleichung:

$$\boxed{dU = T dS + V \sigma_{ij} d\varepsilon_{ij} + V E_i dP_i}$$

- Verallgemeinerte Definition der Freien Enthalpie:

$$G = U - \sum_i \lambda_i l_i - TS \quad \lambda_i : \text{Arbeitskoeffizienten}$$

$$l_i : \text{Arbeitskoordinaten}$$

hier:

$$G = U - V \sigma_{ij} \varepsilon_{ij} - V E_i P_i - TS$$

- Volumendichte der Freien Enthalpie $\hat{G} = \lim_{V \rightarrow 0} \frac{G}{V}$:

$$\hat{G} = \hat{U} - \sigma_{ij} \varepsilon_{ij} - E_i P_i - T \hat{S}$$

- Legendre Transformation mit $d\hat{U} = T d\hat{S} + \sigma_{ij} d\varepsilon_{ij} + E_i dP_i$:

$$\boxed{d\hat{G}(T, \sigma_{ij}, E_i) = -\hat{S} dT - \varepsilon_{ij} d\sigma_{ij} - P_i dE_i}$$

- **Partielle Ableitungen des Potentials:**

$$\hat{S} = - \left(\frac{\partial \hat{G}}{\partial T} \right)_{\sigma, E} \quad \hat{c}_p = T \left(\frac{\partial \hat{S}}{\partial T} \right)_{\sigma, E} = -T \left(\frac{\partial^2 \hat{G}}{\partial T \partial T} \right)_{\sigma, E}$$

Entropie Wärmekapazität

$$\varepsilon_{ij} = - \left(\frac{\partial \hat{G}}{\partial \sigma_{ij}} \right)_{T, E} \quad s_{ijkl} = \left(\frac{\partial \varepsilon_{ij}}{\partial \sigma_{kl}} \right)_{T, E} = - \left(\frac{\partial^2 \hat{G}}{\partial \sigma_{kl} \partial \sigma_{ij}} \right)_{T, E}$$

Dehnungstensor elast. Konstanten

$$P_i = - \left(\frac{\partial \hat{G}}{\partial E_i} \right)_{T, \sigma} \quad \chi_{ij} = \left(\frac{\partial P_i}{\partial E_j} \right)_{T, \sigma} = - \left(\frac{\partial^2 \hat{G}}{\partial E_j \partial E_i} \right)_{T, \sigma}$$

Polarisationsvektor elektr. Suszeptibilitäten

• Maxwell-Beziehungen:

$$\left(\frac{\partial P_i}{\partial \sigma_{jk}}\right)_{E,T} = -\frac{\partial^2 \hat{G}}{\partial \sigma_{jk} \partial E_i} = -\frac{\partial^2 \hat{G}}{\partial E_k \partial \sigma_{ij}} = \left(\frac{\partial \epsilon_{ij}}{\partial E_k}\right)_{\sigma,T} = d_{ijk}$$

direkter Piezoeffekt
inverser Piezoeffekt

$$\left(\frac{\partial \epsilon_{ij}}{\partial T}\right)_{\sigma,E} = -\frac{\partial^2 \hat{G}}{\partial T \partial \sigma_{ij}} = -\frac{\partial^2 \hat{G}}{\partial \sigma_{ij} \partial T} = \left(\frac{\partial S}{\partial \sigma_{ij}}\right)_{E,T} = \alpha_{ij}$$

thermische Ausdehnung
piezokalorischer Effekt

$$\left(\frac{\partial P_i}{\partial T}\right)_{\sigma,E} = -\frac{\partial^2 \hat{G}}{\partial T \partial E_i} = -\frac{\partial^2 \hat{G}}{\partial E_i \partial T} = \left(\frac{\partial S}{\partial E_i}\right)_{\sigma,T} = \gamma_i$$

Pyroelektrizität
elektrokalorischer Effekt

• Zustandsgleichungen:

mechanisch:	$d\epsilon_{ij} = s_{ijkl} d\sigma_{kl} + d_{ijk} dE_k + \alpha_{ij} dT$
	Elastizität inverser Piezoeffekt thermische Ausdehnung
elektrisch:	$dP_i = d_{ijk} d\sigma_{jk} + \chi_{ij} dE_j + \gamma_i dT$
	direkter Piezoeffekt elektrische Suszeptibilität Pyroelektrizität
	$d\hat{S} = \alpha_{ij} d\sigma_{ij} + \gamma_i dE_i + \frac{\hat{c}_p}{T} dT$
	piezokalorischer Effekt elektrokalorischer Effekt Wärmekapazität

Koeffizientenmatrix ist symmetrisch.

• **Unabhängige Materialgrößen:**

- Zweite Ableitungen des thermodynamischen Potentials
- verallgemeinerte Suszeptibilitäten
 - "thermodynamic response functions"
 - Materialgrößen

Ableitung des thermodyn. Potentials	Suszeptibilität	unabhängige Komp. (max.)
$-T \left(\frac{\partial^2 \hat{G}}{\partial T \partial T} \right)_{\sigma, E} = \hat{c}_p$	Wärmekapazität	1
$- \left(\frac{\partial^2 \hat{G}}{\partial \sigma_{kl} \partial \sigma_{ij}} \right)_{T, E} = s_{ijkl}$	elastische Konstanten	21
$- \left(\frac{\partial \hat{G}}{\partial E_j \partial E_i} \right)_{T, \sigma} = \chi_{ij}$	elektrische Suszeptibilitäten	6
$\left(\frac{\partial^2 \hat{G}}{\partial T \partial \sigma_{ij}} \right)_E = \left(\frac{\partial^2 \hat{G}}{\partial \sigma_{ij} \partial T} \right)_E = \alpha_{ij}$	Ausdehnungskoeffizienten	6
$\left(\frac{\partial^2 \hat{G}}{\partial T \partial E_i} \right)_\sigma = \left(\frac{\partial^2 \hat{G}}{\partial E_i \partial T} \right)_\sigma = \gamma_i$	Pyroelektrische Koeffizienten	3
$\left(\frac{\partial^2 \hat{G}}{\partial \sigma_{jk} \partial E_i} \right)_T = \left(\frac{\partial^2 \hat{G}}{\partial E_k \partial \sigma_{ij}} \right)_T = d_{ijk}$	Piezomoduln	18
maximale Anzahl unabhängiger Materialgrößen:		55

*c₁
+ 18*

• **Symmetriereduktion**

Beispiel: Gas oder Flüssigkeit (isotrop)

<i>Suszeptibilität</i>	<i>Reduktion</i>	<i>unabhängige Komp. (max.)</i>
Wärmekapazität	$\hat{c}_\sigma \rightarrow \hat{c}_p$	1
elastische Konstanten	$s_{ijkl} \rightarrow \kappa$ (Kompressibilität)	1
elektrische Suszeptibilitäten	$\chi_{ij} \rightarrow \chi$	1
Ausdehnungskoeffizienten	$\alpha_{ij} \rightarrow \alpha$	1
Pyroelektrische Koeffizienten	$\gamma_i \rightarrow 0$ (Symmetrieverbot) <small>Symmetriezentrum</small>	0
Piezomoduln	$d_{ijk} \rightarrow 0$ (Symmetrieverbot)	0
Anzahl unabhängiger Materialgrößen:		4

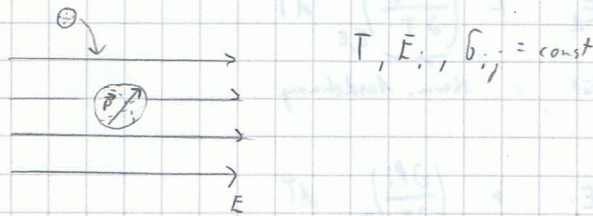
triklin, C_1 (1)	55	} unabhängige Materialgrößen (Suszeptibilitäten)
monoklin, C_{2v} ($mm2$)	22	
Flüssigkeit, Gas (<i>isotrop</i>)	4	

2.2 Thermodynamik des elastischen Festkörpers im elektrischen Feld

$$\vec{p} = \chi \vec{E}$$

Büchse misst kugelförmige Probe eines dielektrischen Festkörpers in ein homogenes elektrisches Feld E .

$\propto E^2$
da isotropes dV
↳ Änderung der Richtung
von E ändert dV nicht



⇒ Feldeffekte:

a) elektrische Polarisation des Festkörpers

↳ elekt. Arbeit $dW = V E_i dP_i$ $[P = \frac{1}{V} \sum_i p_i]$ $(\vec{p} = \chi_{el} \vec{E}^3)$
isotrope Fall

b) elastische Gestaltsänderung

- isotrope Volumenänderung Elektrostriktion $\sim E^2$ unabhängig von Richtung von E
 - anisotrope Deformation Piezoelektrizität $\sim E$ ⇒ richtungsabhängig
- ↳ mech. Arbeit $dW = V \sigma_{ij} d\epsilon_{ij}$ Tensor 2. Stufe

c) Temperatur- bzw. Entropieänderung

(adiabatische bzw. isotherme Elektrifizierung)

↳ Wärme $dQ = T dS$

+ Kerzeffekte

↳ a) thermodynamische Beschreibung aller auftretenden Effekte?

b) Anzahl unabhängiger Materialparameter?

Wählt als unabhängige Zustandsvariable die Arbeitsvariablen ϵ_{ij}, E_i, T
↳ ϵ_{ij}, P_i, S

↳ Änderungen der externen Arbeitskoordinaten ϵ_{ij} , P_i und S jeweils als

Fkt. von σ_{ij} , E_i und T

$$d\epsilon_{ij} = \underbrace{\left(\frac{\partial \epsilon_{ij}}{\partial \sigma_{kl}}\right)_{E,T}}_{\text{Elastizität}} d\sigma_{kl} + \underbrace{\left(\frac{\partial \epsilon_{ij}}{\partial E_k}\right)_{\sigma,T}}_{\text{inverse Piezoelektrizität}} dE_k + \underbrace{\left(\frac{\partial \epsilon_{ij}}{\partial T}\right)_{\sigma,E}}_{\text{Therm. Ausdehnung}} dT$$

$$dP_i = \underbrace{\left(\frac{\partial P_i}{\partial \sigma_{kl}}\right)_{E,T}}_{\text{Piezoelektrizität}} d\sigma_{kl} + \underbrace{\left(\frac{\partial P_i}{\partial E_j}\right)_{\sigma,T}}_{\text{elekt. Suszeptibilität}} dE_j + \underbrace{\left(\frac{\partial P_i}{\partial T}\right)_{\sigma,E}}_{\text{Pyroelektrizität}} dT$$

$$dS = \underbrace{\left(\frac{\partial S}{\partial \sigma_{ij}}\right)_{E,T}}_{\text{piezokalorischer Effekt}} d\sigma_{ij} + \underbrace{\left(\frac{\partial S}{\partial E_i}\right)_{\sigma,T}}_{\text{elektrokalorischer Effekt}} dE_i + \underbrace{\left(\frac{\partial S}{\partial T}\right)_{\sigma,E}}_{\text{Wärmekapazität}} dT$$

direkte Effekte auf Hauptdiagonalen

elektromechanische elektrothermische Effekte } Kreuzeffekte
 thermoelastische

Hauptdiagonalen: „direkte Effekte“

thermodynamisch konjugierte Variablen, Elastizität (σ - ϵ), elekt. Suszeptibilität (E - P), Wärmekapazität (T - S)

Nebendiagonalen: „Kreuzeffekte“

- elektromechanische Effekte
(direkte und inverse Piezoelektrizität)
- elektrothermische Effekte
(Pyroelektrizität, elektrokalorischer Effekt)
- thermoelastische Effekte
(therm. Ausdehnung, piezokalorischer Effekt)

Formelierung über thermodynamische Potentiale

1. HS $dU = TdS + \sum \lambda_i \cdot dL_i$ ← elast. + elekt. Arbeit

↳ $dU = TdS + V\sigma_{ij} d\epsilon_{ij} + VE_i dP_i$

Volumendichte der inneren Energie: $\hat{u} = \lim_{V \rightarrow 0} \frac{U}{V}$ $\hat{s} = \frac{S}{V}$

↳ $d\hat{u} = Td\hat{s} + \sigma_{ij} d\epsilon_{ij} + E_i dP_i$

$\hat{u}(\hat{s}, \epsilon_{ij}, P_i)$ wollen T, σ_{ij}, E_i

↳ gesucht $\hat{g}(T, \sigma_{ij}, E_i)$

↳ Legendre-Transformation nach $\hat{g}(T, \sigma_{ij}, E_i)$:

reellg. $\hat{g} = \underbrace{U - \sum \lambda_i L_i}_{H} - TS$

$\hat{g} = \hat{u} - \sum \lambda_i \hat{L}_i - T\hat{S} = \hat{u} - \sigma_{ij} \epsilon_{ij} - E_i P_i - T\hat{S}$

↳ $d\hat{g} = d\hat{u} - \sigma_{ij} d\epsilon_{ij} - \epsilon_{ij} d\sigma_{ij} - E_i dP_i - P_i dE_i - Td\hat{S} - \hat{S}dT$

mit $d\hat{u} = Td\hat{s} + \sigma_{ij} d\epsilon_{ij} + E_i dP_i$

↳ $d\hat{g}(T, \sigma_{ij}, E_i) = -\hat{S}dT - \epsilon_{ij} d\sigma_{ij} - P_i dE_i$

↳ partielle Ableitungen

1. Ableitungen (Verhältnisse)

$\hat{S} = - \left(\frac{\partial \hat{g}}{\partial T} \right)_{\sigma_{ij}, E_i}$

$\epsilon_{ij} = - \left(\frac{\partial \hat{g}}{\partial \sigma_{ij}} \right)_{T, E_i}$

$P_i = - \left(\frac{\partial \hat{g}}{\partial E_i} \right)_{T, \sigma}$

2. Ableitungen (Suszeptibilitäten)

$\hat{C}_p = T \left(\frac{\partial \hat{S}}{\partial T} \right)_{\sigma, E} = -T \left(\frac{\partial^2 \hat{g}}{\partial T^2} \right)_{\sigma, E}$

$S_{ijkl} = \left(\frac{\partial \epsilon_{ij}}{\partial \sigma_{kl}} \right)_{T, E} = - \left(\frac{\partial^2 \hat{g}}{\partial \sigma_{kl} \partial \sigma_{ij}} \right)_{T, E}$

$\chi_{ij} = \left(\frac{\partial P_i}{\partial E_j} \right)_{T, \sigma} = - \left(\frac{\partial^2 \hat{g}}{\partial E_i \partial E_j} \right)_{T, \sigma}$

Maxwell-Beziehungen:

$$\left(\frac{\partial P_i}{\partial \sigma_{ij}} \right) = - \left(\frac{\partial^2 \hat{U}}{\partial \sigma_{ij} \partial E_i} \right) = - \left(\frac{\partial^2 \hat{U}}{\partial E_i \partial \sigma_{ij}} \right) = \left(\frac{\partial \epsilon_{ij}}{\partial E_i} \right) = d_{ij} \quad \text{piezoelektr. Konstanten}$$

direkter Piezoeffekt inverser Piezoeffekt

$$\left(\frac{\partial \epsilon_{ij}}{\partial T} \right) = \dots = \left(\frac{\partial S}{\partial \sigma_{ij}} \right) = \lambda_{ij} \quad \text{therm. Ausdehnungskoeffizienten}$$

therm. Ausdehnung piezokalorischer Effekt

$$\left(\frac{\partial P_i}{\partial T} \right)_{\sigma, E} = \dots = \left(\frac{\partial S}{\partial E_i} \right)_{\sigma, T} = \gamma_i \quad \text{pyroelektrische Koeffizienten}$$

Pyroelektrizität elektrokalorischer Effekt

2 elektro-mech. }
 2 elektro-therm. }
 2 thermo-elast. }
 Effekte: jeweils gleiche Materialkompatibilität

↳ Zustandsgleichungen

mechanisch: $d\epsilon_{ij} = s_{ijkl} \cdot d\sigma_{kl} + d_{ij2} \cdot dE_i + \lambda_{ij} \cdot dT$

elektrisch: $dP_i = d_{ij2} \cdot d\sigma_{ij} + \chi_{ij} \cdot dE_j + \gamma_i \cdot dT$

kalorisch: $d\hat{S} = \lambda_{ij} \cdot d\sigma_{ij} + \gamma_i \cdot dE_i + \frac{c_p}{T} \cdot dT$

Koeffizientenmatrix ist symmetrisch!

$$\begin{pmatrix} E \\ P \\ S \end{pmatrix} = \begin{pmatrix} s & d & \alpha \\ d & \chi & \gamma \\ \alpha & \gamma & \frac{c_p}{T} \end{pmatrix} \begin{pmatrix} \sigma \\ E \\ T \end{pmatrix}$$

Antwortfunktion Kontrollvariablen

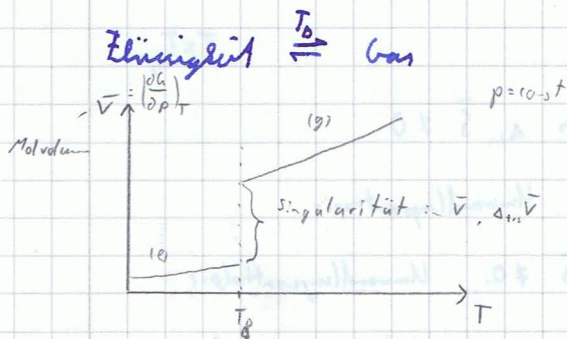
1. Stufe $\rightarrow 1 \times 3$ Matrix $\begin{pmatrix} x \\ y \\ z \end{pmatrix}$ 3 unabh. Komponenten

2. Stufe $\rightarrow 3 \times 3$ Matrix $\begin{pmatrix} \cdot & \cdot & \cdot \\ \cdot & \cdot & \cdot \\ \cdot & \cdot & \cdot \end{pmatrix}$ 6 unabh. Komponenten

3. Stufe $\rightarrow 3 \times 6$ Matrix $\begin{matrix} & & & & & \\ & & & & & \\ & & & & & \\ & & & & & \\ & & & & & \\ & & & & & \end{matrix}$ 18 unabh. Komponenten

4. Stufe $\rightarrow 6 \times 6$ Matrix $\begin{matrix} & & & & & \\ & & & & & \\ & & & & & \\ & & & & & \\ & & & & & \\ & & & & & \end{matrix}$ 21 unabh. Komponenten

2.3 Phasenumwandlungen

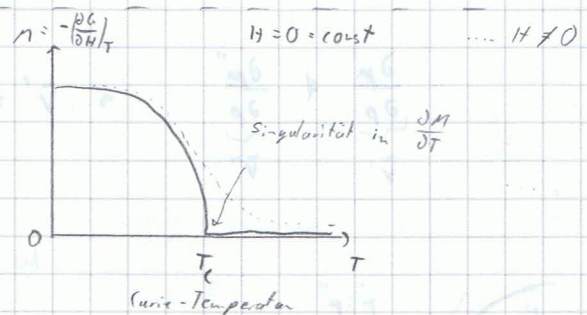


Ferro magnet \rightleftharpoons Paramagnet

Superfluid \rightleftharpoons Fluid

($^4\text{He-II}$) ($^4\text{He-I}$)

Superleiter \rightleftharpoons Normale Leiter



Phasenumwandlungen reiner Stoffe sind durch singuläre Änderungen

- in der mikroskopischen Ordnung / Struktur sowie
- der makroskopischen Eigenschaften

gekennzeichnet

thermodynamische Gleichung zweier Phasen am Umwandlungspunkt (stabile Koexistenz)

$$\mu_1(p, T) = \mu_2(p, T), \quad d\mu_1(p, T) = d\mu_2(p, T)$$

(alle thermodynamischen Potentiale)

↳ alle Phasenumwandlungen stetig im chem. Potential

ii) Singularitäten auf 1. oder höherer Ableitung von $\mu(p, T)$ beschreibt

⇒ Ehrenfest-Klassifikation

Unstetigkeit ab der n-ten Ableitung von $\mu(p, T)$ am Umwandlungspunkt

↳ Umwandlung n-ter Ordnung

2.3.1 Umwandlungen 1. Ordnung

$$T = T_{tr}$$

per Definition: $\frac{\partial \mu^I}{\partial T} \neq \frac{\partial \mu^{II}}{\partial T} \rightarrow \bar{S}^I \neq \bar{S}^{II} \rightarrow \Delta_{tr} \bar{S} \neq 0$

Phase I Phase II

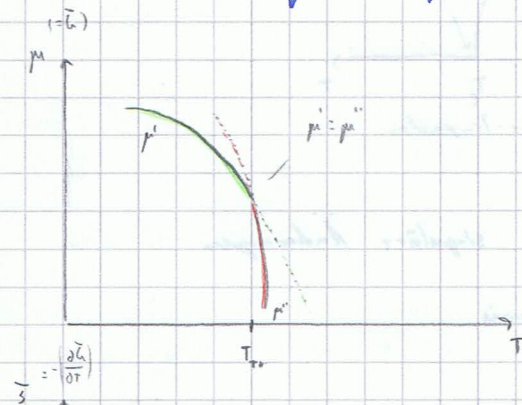
- \bar{S}^I - \bar{S}^{II}

Umwandlungsentropie

$$\Delta_{tr} \bar{H} = T \Delta_{tr} \bar{S} \neq 0 \quad \text{Umwandlungsenthalpie}$$

„Latente Wärme“

$$\frac{\partial \mu^I}{\partial p} \neq \frac{\partial \mu^{II}}{\partial p} \rightarrow \bar{V}^I \neq \bar{V}^{II} \rightarrow \Delta_{tr} \bar{V} \neq 0 \quad \text{Volumen bzw. Dichtesprung}$$

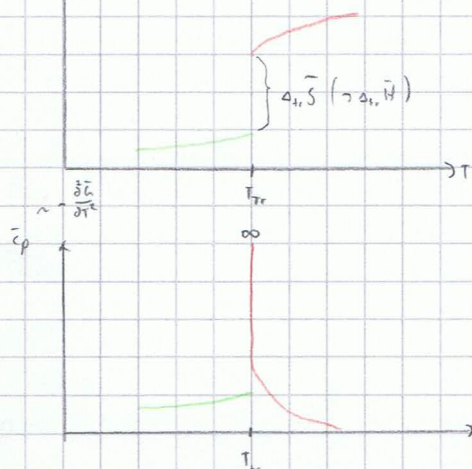


bei T_{tr} $d\mu^I \neq d\mu^{II}$

$$\left(\frac{\partial S}{\partial T}\right) = \frac{1}{T}$$

$$\left(\frac{\partial^2 \mu}{\partial T^2}\right) < 0$$

↳ 2. Ordnung Lösung



$$c_p \rightarrow \infty$$

$$\chi_T \rightarrow \infty$$

$$\alpha \rightarrow \infty$$

wegen \bar{S} bzw. \bar{V} -Sprung

Koexistenzlinie (\rightarrow Phasendiagramm) aus $\mu'(p,T) = \mu''(p,T)$ bzw. $d\mu' = d\mu''$

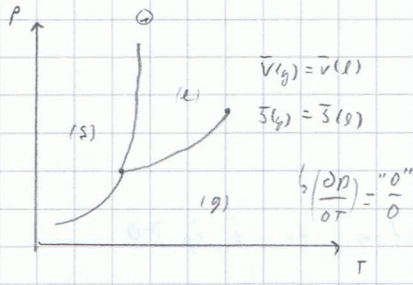
$$\bar{V}' dp - \bar{S}' dT = \bar{V}'' dp - \bar{S}'' dT$$

$$(\bar{S}'' - \bar{S}') dT = (\bar{V}'' - \bar{V}') dp$$

$$\left(\frac{\partial p}{\partial T}\right)_{\text{Koex.}} = \frac{\Delta_{tr} \bar{S}}{\Delta_{tr} \bar{V}} = \frac{\Delta_{tr} \bar{H}}{T \Delta_{tr} \bar{V}}$$

Clausius - Laplace-Gleichung

S U V
H X A
P h T



Koexistenzlinie:

- stabile Koexistenz zweier unterscheidbare Phasen
 $\bar{V}' \neq \bar{V}'' \quad \bar{S}' \neq \bar{S}''$

① kein Zitterpunkt, da immer noch unterscheidbar \Rightarrow Biegung \rightarrow andere Strukturen
 \hookrightarrow kein Kristall ist kugelsymmetrisch wie Flüssigkeit

2.3.2 Umwandlungen 2. Ordnung

1. Ableitungen stetig

$$\frac{\partial \mu'}{\partial T} = \frac{\partial \mu''}{\partial T} \rightarrow \bar{S}' = \bar{S}''$$

$$T = T_{tr}$$

$$\hookrightarrow \Delta_{tr} \bar{S} \equiv 0 \rightarrow \Delta_{tr} \bar{H} = T \Delta_{tr} \bar{S} \equiv 0$$

\hookrightarrow keine latente Wärme

$$\frac{\partial \mu'}{\partial p} = \frac{\partial \mu''}{\partial p} \rightarrow \bar{V}' = \bar{V}''$$

$$\hookrightarrow \Delta_{tr} \bar{V} \equiv 0$$

2. Ableitungen unstetig bei $T = T_{tr}$

$$\frac{\partial^2 \mu'}{\partial T^2} \neq \frac{\partial^2 \mu''}{\partial T^2} \rightarrow \bar{c}_p' \neq \bar{c}_p'' \rightarrow \Delta_{tr} \bar{c}_p \neq 0$$

$$\frac{\partial^2 \mu'}{\partial p^2} \neq \frac{\partial^2 \mu''}{\partial p^2} \rightarrow \bar{\chi}_p' \neq \bar{\chi}_p'' \rightarrow \Delta_{tr} \bar{\chi}_p \neq 0$$

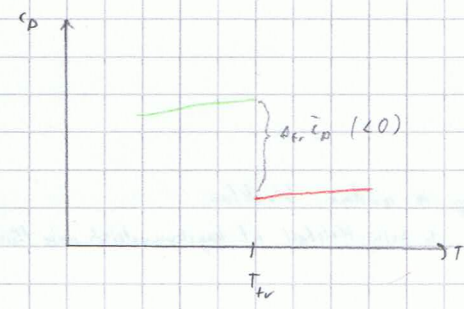
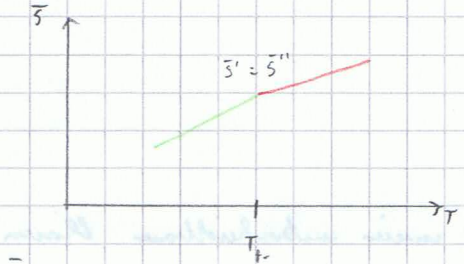
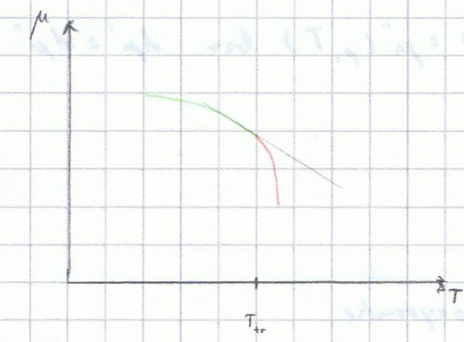
$$\rightarrow \alpha' \neq \alpha'' \rightarrow \Delta_{tr} \alpha \neq 0$$

Diskontinuierliche
Suszeptibilitäten

keine Unterkühlung / Überhitzung möglich!

da gleiche Steigung bei $T = T_{tr}$

2
 hat nicht so steil?



Glasübergang 2. Ordnung da $c_p, \bar{c}_p > 0$

Clairaut - Clapeyron: $\left(\frac{\partial p}{\partial T}\right)_{\text{Coex.}} = \frac{\Delta_{tr} \bar{S}}{\Delta_{tr} \bar{V}} = \frac{0}{0}$

↳ für Umwandlungen 2. Ordnung nicht definiert!

↳ Ehrenfest'sche Gleichungen

wegen Stetigkeit der Entropie:

$$dS'(p, T) = dS''(p, T)$$

$$\underbrace{\left(\frac{\partial \bar{S}'}{\partial p}\right)_T}_{-\left(\frac{\partial \bar{V}'}{\partial T}\right)_p} dp + \underbrace{\left(\frac{\partial \bar{S}'}{\partial T}\right)_p}_{\frac{\bar{c}_p'}{T}} dT = \underbrace{\left(\frac{\partial \bar{S}''}{\partial p}\right)_T}_{-\bar{V}'' \bar{c}_p''} dp + \underbrace{\left(\frac{\partial \bar{S}''}{\partial T}\right)_p}_{\frac{\bar{c}_p''}{T}} dT$$

wegen Stetigkeit von \bar{V} : $\bar{V}' = \bar{V}'' = \bar{V}$

$$\underbrace{(\bar{c}_p'' - \bar{c}_p')}_{\Delta_{tr} \bar{c}_p} \bar{V} dp = \frac{\bar{V}}{T} \underbrace{(\bar{c}_p'' - \bar{c}_p')}_{\Delta_{tr} \bar{c}_p} dT$$

↳ $\left(\frac{\partial p}{\partial T}\right) = \frac{\Delta_{tr} \bar{c}_p}{T \bar{V} \Delta_{tr} \bar{c}_p}$ 1. Ehrenfest'sche Gleichung

analog zur Stetigkeit von \bar{V} am Übergang: $d\bar{V}'(p, T) = d\bar{V}''(p, T)$

↳
$$\left(\frac{\partial p}{\partial T}\right) = \frac{\Delta_{tr} \bar{c}_p}{\Delta_{tr} \bar{\kappa}_T}$$
 2. Ehrenfest'sche Gleichung

Kombination beider Gleichungen liefert:

$$\frac{\Delta_{tr} \bar{c}_p}{T \bar{V} \Delta_{tr} \bar{c}_p} = \frac{\Delta_{tr} d_p}{\Delta_{tr} \bar{\kappa}_T}$$

↳
$$\Delta_{tr} \bar{c}_p = \frac{T \bar{V} \Delta_{tr} d_p^2}{\Delta_{tr} \bar{\kappa}_T}$$

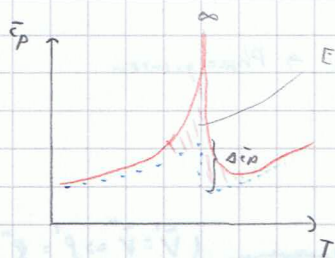
→ nur unabhängige Sprunggrößen

Umwandlungsstelle 2. Ordnung immer Zwitter Punkt (Fluktuationen) → Schwierigkeit

- allgemeine Beziehung zwischen den "Sprunggrößen" am Übergang 2. Ordnung
- ^{exp.} mögliche Übergänge schlägt für die meisten Umwandlungen, die nicht 1. Ordnung sind, fehl!

⇒ Zahl der Ehrenfest Klassifikation

(i) λ -Übergang



Exzess- \bar{c}_p Ursache: „kritische Fluktuationen“

Phasen nicht mehr unterscheiden

Übergänge, die nicht 1. Ordnung sind ($\Delta_{tr} \bar{H} = 0$), erscheinen sich zumeist als " λ -Übergänge", d.h.: $c_p \rightarrow \infty$ (logarithmische Divergenz) statt $\Delta \bar{c}_p$ -Sprung!

(ii) Ehrenfest-Gleichung

wegen (i) endlich $\Delta \bar{c}_p$, Δd_p und $\Delta \bar{\kappa}_T$ -Sprünge nicht definiert

⇒ Ehrenfest-Gleichungen nicht anwendbar

(iii) Übergänge höherer Ordnung (>2)

formal möglich, aber nie gefunden

↳ Moderner Gebrauch der Ehrenfest-Klassifikation (M.E. Fisher 1967)

- Übergänge, stetig in \bar{S}, \bar{V}, \dots → 1. Ordnung
- " stetig in \bar{S}, \bar{V}, \dots → 2. Ordnung

2.3.3 Umwandlung 2. Ordnung als kritisches Phänomen

Bedingungen am Umwandlungspunkt 2. Ordnung

thermisch	ggw.	$T' = T''$	} Gibbs'sche Phasengleichung	} ⇒ Beide Phasen am Umwandlungspunkt identisch bzw. ununterscheidbar
mech.	Gh	$p' = p''$		
chem.	Gh	$\mu' = \mu''$		
zusätzliche Bedingungen für 2. Ordnung			} ⇒ <u>kritisches Phänomen</u>	
		$\bar{V}' = \bar{V}''$ $\bar{S}' = \bar{S}''$		

↳ Gibbs'sche Phasenregel nicht anwendbar!

bei 3. Ordnung: 8 Bedingungen

↳ nicht erfüllbar

Phasenübergang 2. Ordnung: Phase geht kontinuierlich in andere Phase über

1. Ordnung: Übergang am Umwandlungspunkt → Unterscheidbar → Phasengrenze

Folgerung daraus:

1.) System am Umwandlungspunkt homogen, d.h. ohne Phasengrenzen ($\bar{V}' = \bar{V}'' \Rightarrow p' = p''$)

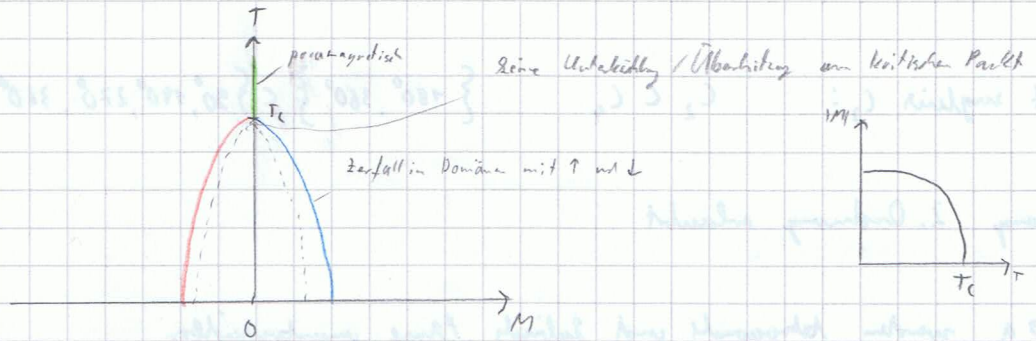
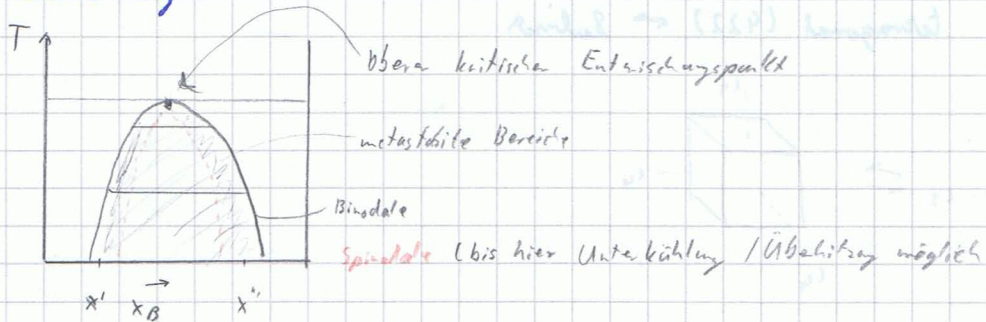
↳ „einfacher kontinuierlicher Übergang“

2.) Umwandlungspunkt 2. Ordnung ist stets ein kritischer Punkt

(wegen Ununterscheidbarkeit beider Phasen)

Analysie

Entmischung



↳ kritische Fluktuationen $\Rightarrow \bar{c}_p$ -Anomalie

3.) keine Metastabilität

Überhitzung / Unterkühlung ausgeschlossen, da sich Binodale und Spinodale im kritischen Punkt berühren!

4.) auch bei Mischungen ($K > 2$) kein Zweiphasengebiet

Symmetriebetrachtungen (Landau 1937)

Landau - Regeln

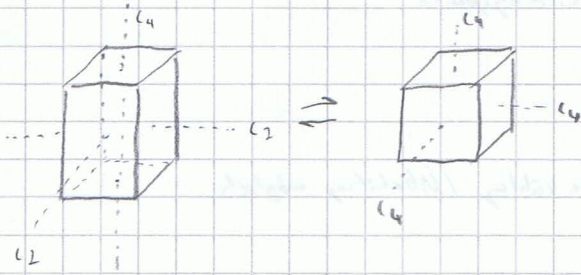
1.) Symmetrieänderung 1. Ordnung am Übergangspunkt 2. Ordnung zwingend notwendig (↳ Symmetriewechsel stets singulär!)

2.) Symmetrieelemente der geordneten Phase sind Untergruppe der Symmetrieelemente der ungeordneten Phase

gerade Eis
 ungerade Wasser
 < Kugel-symmetrie

Beispiel

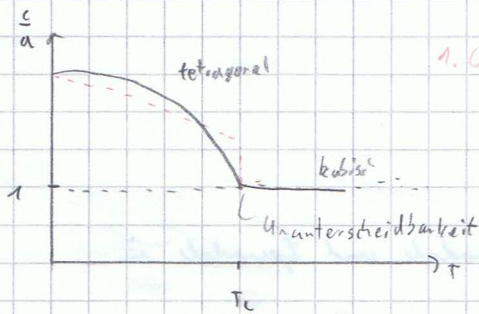
i) Umwandlung tetragonal (422) \leftrightarrow kubisch



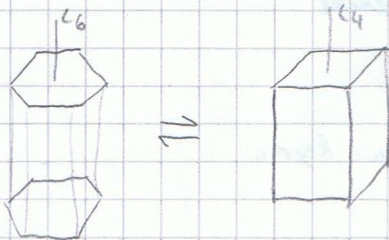
C_4 enthält zugleich C_2 : $C_2 \subset C_4 \quad \{180^\circ, 360^\circ\} \subset \{90^\circ, 180^\circ, 270^\circ, 360^\circ\}$

\hookrightarrow Übergang 2. Ordnung erlaubt

\Rightarrow für $c \rightarrow a$ werden tetragonal und kubische Phase unterscheidbar



ii) Umwandlung hexagonal \leftrightarrow tetragonal



C_6 und C_4 schließen einander aus. $\{90^\circ, 180^\circ, 270^\circ, 360^\circ\} \not\subset \{60^\circ, 120^\circ, 180^\circ, 240^\circ, 300^\circ, 360^\circ\}$

\hookrightarrow nur Übergänge 1. Ordnung möglich!

Eigenschaften von Phasenübergängen 1. und 2. Ordnung

Phasenumwandlung	1. Ordnung	2. Ordnung
Thermodynamik	$\Delta_{\text{tr}}\bar{H} \neq 0$ (Umwandlungsenthalpie)	$\Delta_{\text{tr}}\bar{H} = 0$ und: $\Delta_{\text{tr}}\bar{C}_p \neq 0$ (Ehrenfest) $\Delta_{\text{tr}}\bar{C}_p \rightarrow \infty$ (λ -Umw.)
Phasenkoexistenz	räumliche Koexistenz unterscheidbarer Phasen: → Phasengrenzen → zweiphasig	Phasen am Umwandlungs- punkt <i>un</i> unterscheidbar (kritischer Punkt): → keine Phasengrenzen → einphasig
Ordnungsparameter	unstetig "diskontinuierlicher Übergang"	stetig "kontinuierlicher Übergang"
Metastabilität	Überhitzung bzw. Unterkühlung möglich	Überhitzung bzw. Unterkühlung nicht möglich
Symmetrie (Landau-Regeln)	Symmetrieänderung am Übergang nicht notwendig, aber möglich	Symmetrieänderung am Übergang notwendig, Symmetrieelemente einer Phase sind Teilmenge (Untergruppe) der Symmetrieelemente der anderen Phase

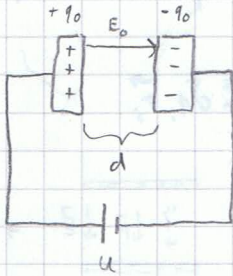
3. Dielektrische Eigenschaften

„dielektrikum“: Isolatoren, die in einem E-Feld polarisiert werden

(→ Ladungstrennung)

Einige Grundbegriffe aus der Elektrotechnik:

Plattenkondensator:



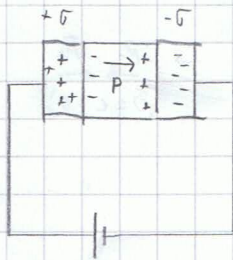
$$D_0 = \sigma_0 = \frac{Q_0}{A} = \epsilon_0 E \text{ Ladungsdichte}$$

Dielektrische Verschiebung

Dielektrizitätskonstante des Vakuums
(elekt. Permittivität)

$$C_0 = \frac{Q_0}{u} = \frac{\epsilon_0 A}{\epsilon_0 d}$$

$$\hookrightarrow C_0 = \epsilon_0 \frac{A}{d}$$



Umhüllung:

„Polarisation“

$$D = \sigma = \sigma_0 + P$$

$$C = \frac{q}{u} = \frac{\sigma_0 + P}{E} \cdot \frac{A}{d} = \left(\frac{\sigma_0}{E} + \frac{P}{E} \right) \frac{A}{d} = (\epsilon_0 + \chi) \frac{A}{d}$$

ϵ_0 χ dielektrische Suszeptibilität

$$= \underbrace{(1 + \chi)}_{\epsilon} \epsilon_0 \frac{A}{d} = \epsilon C_0$$

ϵ dielektrische Konstante

$$\rightarrow \epsilon = \frac{C}{C_0}$$

↳ rel. DK

Maxwell

$$n = \frac{c_0}{c} = \sqrt{\epsilon \cdot \mu}$$

$\mu \approx 1$ für Isolatoren

$$\hookrightarrow n^2 = \epsilon_{opt} \quad \epsilon = f(T, f)$$

↳ elektrische und optische Eigenschaften

Problem: Abhängigkeit materialoptischer Größen wie μ , χ , ϵ , n von Isolatoren
Außen des Dielektrikum / Temperatur / Frequenz?

3.1 Dipolmoment und Polarizierbarkeit

WW zwischen beliebigen Ladungsverteilungen und elektr. Feldern:

"Multipolentwicklung"

"Monopol"

⊕ Ladung q Na^+ -Ionen
(Skalar)

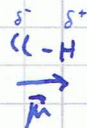
"Dipol"



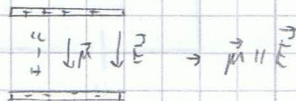
$\sum q_i = 0$ aber: el. Dipolmoment

$$\vec{\mu} = \sum \delta q \cdot \vec{r}_i$$

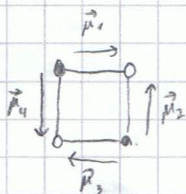
polare Moleküle



$$\vec{\mu} = \sum \delta q_i \cdot \vec{r}_i$$

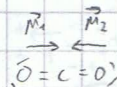


"Quadrupol"

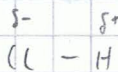


$$\sum \vec{\mu}_i = 0$$

aber: el. Quadrupolmoment $Q_{ij} \neq 0$
(Tensor 2. Stufe)

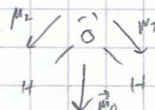


permanentes Dipolmoment μ_0 : auch ohne el. Feld vorhanden Dipolmoment polarer Moleküle



$$\mu = 1,08 D$$

$$1 \text{ Debye} = 3,336 \cdot 10^{-30} \text{ C m}$$



$$\mu_0 = 1,85 D$$

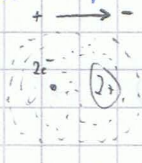
induziertes Dipolmoment μ_{ind} : wird durch Ladungsverteilung in el. Feld hervorgerufen

$$\mu_{ind} = 0 \text{ für } (E=0)$$

Bsp.: He-Atom



$\vec{\mu} = 0$ (Kugelsymmetrie)



$$\vec{\mu}_{ind} = \delta q \cdot \vec{r}(E)$$

Verschiebung $\sim E$

oder 3,5

da μ richtungsabhängig

"Proportionalitätskonstante": Polarizierbarkeit α

$$\mu_{ind} = \alpha \cdot E_{loc} \quad \text{E-Feld an der Stelle des Atoms wirksam ist}$$



α abhängig von Richtung
 ↳ α ist Tensor 2. Stufe

$$\vec{p} = \sum_{\alpha, j} \alpha_{\alpha j} \vec{E}_{loc}$$

wichtig: für nicht-aktiviert Moleküle ist α ein Tensor 2. Stufe
 ↳ mittlere Polarisierbarkeit: $\bar{\alpha} = \frac{1}{3} (\alpha_{11} + \alpha_{22} + \alpha_{33})$
 bei isotropen Phasen anisotroper Moleküle

$$\vec{p} = \sum \delta q_i \vec{r}_i$$

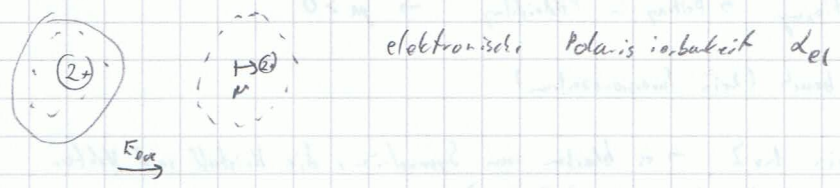
permanent: μ_0

induziert: $\mu_{ind} = \delta q_i r_{ind} (\sim E)$

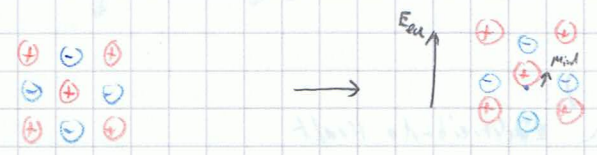
$$\mu_{ind} = \alpha E_{loc}$$

Mechanismen der elektrischen Polarisierbarkeit

a) Elektronenpolarisation



b) Ionen- und Molekelpolarisation



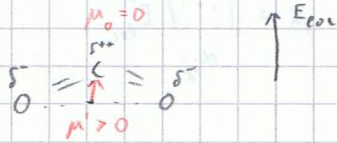
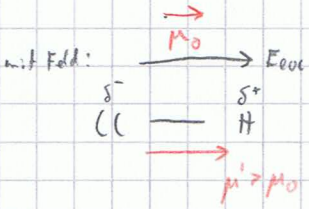
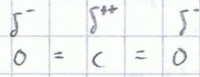
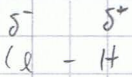
pos. und negativ Ladungserdungen
 fallen zusammen $\Rightarrow \mu = 0$

relative Verschiebung von Kationen- und
 Anionenlatten im E-Feld $\Rightarrow \mu_{ind} \neq 0$

↳ Beitrag zur Polarisierbarkeit α_{ion}

in Ionenkristallen und Molekulkristallen:

Änderung von Bindungslängen und -winkeln im E-Feld:



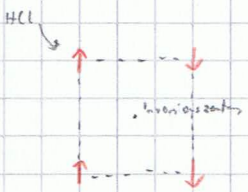
↳ Beitrag $\Delta \mu$

↑ alle 3 Mechanismen
Temperatur unabhängig!

nur Coulomb WW

c) Orientierungspolarisation

Bsp.: Kristall aus polaren Molekülen



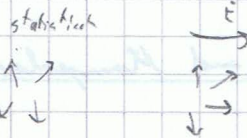
$$\vec{E}_{ext} = -\mu \cdot \vec{E}$$

$$\sum \vec{\mu}_0 = 0$$

Umorientierung \rightarrow Beitrag in Feldrichtung $\rightarrow \mu > 0$

↳ Symmetriebrech (kein Inversionszentrum)

(\vec{E}_{ext} hat kein kvZ \rightarrow es bleiben nur Symmetrien, die Kristall und Vektor gemeinsam sind) (wie'sches? Prinzip)



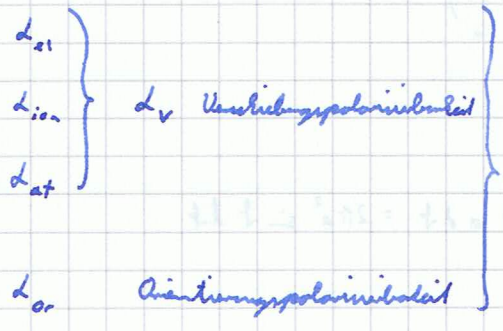
↳ keine Verschiebung, sondern nur eine Umorientierung

Beitrag: $\Delta \mu$ (temperaturabhängig) \leftarrow rücktreibende Kraft

3.2 Induzierte Polarisation

mikroskopisch makroskopisch

molekulare Polarisierbarkeit



$$\vec{P}_{ind} = \sum \vec{\mu}_i$$

$$\vec{P}_{ind} = \epsilon_0 (\epsilon - 1) \vec{E} \quad \uparrow \epsilon_0 \times \vec{E}$$



Zusammenhang:

$$\vec{P}_{ind} = \frac{1}{V} \sum \vec{\mu}_i$$



≙ Mittelwertbildung aus Statistik

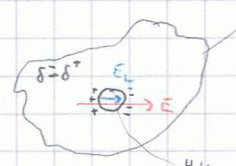
abr: Zusammenhang $E \leftrightarrow E_{loc}$

3.2.1 Problem des lokalen Feldes

Fachstoffkristalle ändern ϵ in E
 \hookrightarrow Feststoffkristalle in Kristall $\rightarrow E_{loc}$ am Feststoff

lokales Feld durch Messung nicht zugänglich (Sonde \ll Atom)

\hookrightarrow klass. theoretische Herleitung: "Lorentz-Feld"



Dielektrikum (Kontinuum)

\rightarrow Feld verstärkt im Hohlraum

$$E_L = \frac{P}{\epsilon_0 \cdot 3}$$

Hohlraum: Vakuum
 kugelförmig $r=a$

$$\hookrightarrow E_{loc} = E + \frac{P}{3\epsilon_0}$$

strog nur für isotrope oder kubische Dielektrika

allg.:
$$\vec{E}_{loc} = \vec{E} + N \frac{\vec{p}}{\epsilon_0}$$

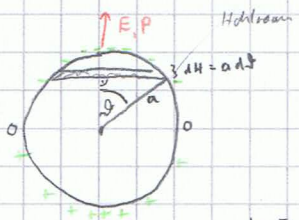
$$\uparrow$$

 Entpolarisierungstensor

Ableitung des Lorenz-Eldes:

55,85

12,07



$r = a$
 gleiche Ladungsdichte auf Kreisring
 $r_{\text{Kreisring}} = a \sin \theta$

↳ Fläche des Kreisrings: $dA = 2\pi r \cdot dh$
 $dA = 2\pi a \sin \theta \cdot a d\theta = 2\pi a^2 \sin \theta d\theta$

Ladungsdichte:

$\sigma(\theta) = -P \cos \theta$

Ladung des Kreisrings: $dq = \sigma dA = -2\pi a^2 P \cos \theta \sin \theta d\theta$



Feld E_i : erzeugt durch Punktladung q auf deren Oberfläche (Coulomb, $r=a$)
im Zentrum der Halbkugel

$E_i = -\frac{1}{4\pi\epsilon_0} \frac{q}{a^2}$ $dE_i = -\frac{1}{4\pi\epsilon_0} \cdot \frac{1}{a^2} dq$

$E = \frac{q}{d}$

denn z-Komponente:

↳ $U = -\frac{1}{4\pi\epsilon_0} \frac{q}{r}$ $d = r$

$dE_i = -\frac{1}{4\pi\epsilon_0} \cdot \frac{\cos \theta}{a^2} dq$

↳ $dE_i = \frac{1}{4\pi\epsilon_0} \cdot \frac{\cos \theta}{a^2} \cdot 2\pi a^2 P \cos \theta \sin \theta d\theta$

↳ $dE_i = \frac{P}{2\epsilon_0} \cos^2 \theta \sin \theta d\theta$

↳ Integration: $E_L = \frac{P}{2\epsilon_0} \int_0^{\pi} \cos^2 \theta \sin \theta d\theta = \frac{P}{3\epsilon_0}$

Veränderung: Annager, Kieferwood - Frühling

3.2.2 Lorentz-Mosotti-Gleichung

- (i) einfacher (isotropes, kubisches) Kristallgitter, ohne permanente Dipole ($\mu_{per} = 0$) z.B. Glas
- (ii) E_{loc} gemäss Lorentz

allg: $\vec{P} = \frac{1}{V} \sum \vec{\mu}_i$

für N gleichgerichtete Dipole $\vec{\mu}_1 = \vec{\mu}_2 = \dots = \vec{\mu}_N = \vec{\mu}$ bzw. $\bar{\mu}$
Mittelwert z.B. im flüssigen

$\hookrightarrow \vec{P} = \frac{1}{V} N \cdot \vec{\mu}$
 \bar{N} Anzahldichte

$\hookrightarrow P = \bar{N} \mu$ isotrop

mit $\mu_{ind} = d \cdot E_{loc}$
zunächst nur d_v , nicht d_{or}

Case: $E = E_{loc}$

$\hookrightarrow P = \bar{N} d \cdot E_{loc} \rightarrow$ mit E_{loc} aus Lorentz-Näherung

$E_{loc} = E + \frac{P}{3\epsilon_0} \stackrel{\leftarrow \epsilon_0(\epsilon_r - 1)E}{=} = E + \frac{\epsilon_r - 1}{3} E = E \left(\frac{2 + \epsilon_r}{3} \right)$

bei $\epsilon_r = 1$
 $\hookrightarrow 2E'$
↳ nicht vernachlässigbar

$\hookrightarrow P = \bar{N} d \cdot \frac{\epsilon_r + 2}{3} E$

$\hookrightarrow \frac{\epsilon_r - 1}{\epsilon_r + 2} = \frac{\bar{N} d}{3\epsilon_0}$

Dreibe \bar{N} durch mehrere Größen aus:

$\bar{N} = \frac{N}{V} = \frac{n \cdot N_A}{\frac{M}{\rho}} = \frac{n \cdot N_A \cdot \rho}{M} = \frac{N_A \rho}{M}$

mit sogenannter Molpolarisierbarkeit $P_M = \frac{N_A \rho}{3\epsilon_0} \cdot d$

$\hookrightarrow P_M = \frac{\epsilon_r - 1}{\epsilon_r + 2} \frac{M}{\rho} = \frac{N_A}{3\epsilon_0} \cdot d$

(Lorentz-Mosotti-Gleichung)

$\hookrightarrow \epsilon_r = f(T)$ obwohl $d \neq f(T)$ da nur d_v und $d_{or} = 0$
wegen $S = f(T)$ aber schwach

(i) ϵ über mehrere makroskopische Größen (ϵ_0, M, ρ) zugänglich

(ii) Wenn $\epsilon \neq f(T)$ (nur Verdrängungspolarisation $\epsilon = \epsilon_v$) dann wird $\epsilon_v(T)$ ausschließlich durch T-abhängige Dipole $p(T)$ bestimmt

(iii) Mischfall aus verschiedenen Atomen / Ionen j , jeweils mit N_j, ϵ_j :

$$\frac{\epsilon - 1}{\epsilon + 2} = \frac{1}{3\epsilon_0} \sum_j N_j \epsilon_j$$

3.2.3 Lorentz - Lorentz - Gleichung

Wechselfeld $E = E_0$ im rot mit Frequenzen des opt. Lichts ($\sim 10^{14}$ Hz): nur noch elektronische Polarisation aktiv (\rightarrow 3.4)

$$\hookrightarrow \epsilon_v \rightarrow \epsilon_{el} \quad \epsilon \rightarrow n^2$$

$$\hookrightarrow \frac{n^2 - 1}{n^2 + 2} \cdot \frac{M}{\rho} = \frac{N_A}{3\epsilon_0} \epsilon_{el}$$

$$\text{bzw: } \frac{n^2 - 1}{n^2 + 2} = \frac{1}{3\epsilon_0} \sum_j \overbrace{N_j}^{\text{Anzahldichte}} \cdot \epsilon_{el,j}$$

L-L-Gleichung

(i) Berechnung von Brechungsindex aus elektronischen Polarisationen

(ii) $n_D^{20} = 1,3124$
 \uparrow λ \uparrow T, ρ

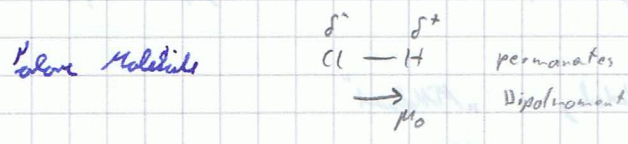
Brechungsindex leicht sehr genau (5 Stellen) bestimmen

$$\hookrightarrow n = f(\lambda, T)$$

\downarrow Dispersion
 \uparrow Dichte $\rho = f(T)$

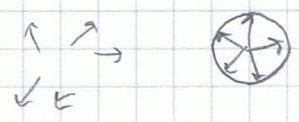
$n(T)$ resultiert allein aus $p(T)$, da ϵ_{el} temperaturunabhängig

3.2.4 Orientierungspolarisation



in isotroper Phase:

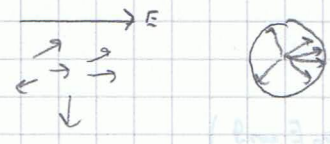
a) ohne Feld ($E=0$)



statistische Verteilung $\sum \vec{\mu}_i = 0$

$\Rightarrow P=0$

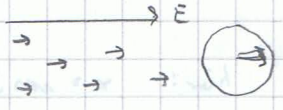
b) mit Feld $E > 0$:



$|\sum \vec{\mu}_i| > 0$

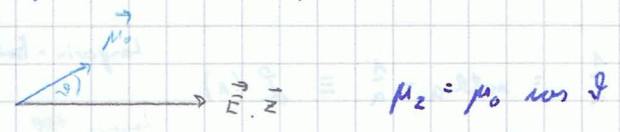
Orientierungspolarisation $\approx 100\%$
 trotzdem größter Beitrag

c) $E \rightarrow \infty$



$\sum \vec{\mu}_i = N \cdot \mu_0$

Beitrag zur Orientierungspolarisation durch Komponente μ_z in Feldrichtung z



für N Dipole: $|\sum_1^N \mu_{0i}| = N \cdot \langle \mu_z \rangle$
 mittlerer Dipol in z-Richtung
 $= N \langle \mu_0 \cos \theta \rangle = N \mu_0 \langle \cos \theta \rangle$
 μ_z -zeitlich \rightarrow im Weltgemittelt gleich $\langle \cos \theta \rangle$
 (E, T)

Grenzwerte:

$\lim_{E \rightarrow 0} \langle \cos \theta \rangle = 0$

$\lim_{E \rightarrow \infty} \langle \cos \theta \rangle = 1$

Problem: Verteilung der Dipolanordnung $\langle \cos \theta \rangle$ bei endlichem Feld E

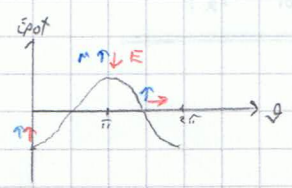
Ansatz:

1.) "Boltzmann-Verteilung"

$N_i(\cos \theta) = A \cdot N \cdot \exp \left[- \frac{E_{pot}(\cos \theta)}{kT} \right]$
 Gesamtzahl der Dipole \rightarrow potentielle Energie des Dipols im Feld
 $\sum N_i = N \Rightarrow$ Normierungskonstante

2.) Potentielle Energie des Dipols μ_0 im Feld E

$E_{pot} = - (\vec{\mu}_0 \cdot \vec{E}) = - \mu_0 E \cdot \cos \theta$
 Skalarprodukt



3) Berechnung des Mittelwerts einer Eigenschaft x , bei bekannter Verteilungsfunktion $f(x)$

$$\langle x \rangle = \frac{\int x \cdot f(x) dx}{\int f(x) dx} \quad \begin{array}{l} \text{1. Moment der Verteilung} \\ \text{"Mittelwert"} \end{array}$$

$$\langle x^2 \rangle = \frac{\int x^2 \cdot f(x) dx}{\int f(x) dx} \quad \begin{array}{l} \text{2. Moment der Verteilung} \\ \text{n. Moment} \end{array} \quad \text{quadratischer Mittelwert}$$

hier: $x = \cos \theta$

$$f(x) = A \cdot N \cdot \exp\left(-\frac{\mu_0 E \cos \theta}{kT}\right)$$

$$\hookrightarrow \langle \cos \theta \rangle = \frac{\int_{-1}^1 \cos \theta \cdot A N \exp\left(-\frac{\mu_0 E \cos \theta}{kT}\right) d(\cos \theta)}{\int_{-1}^1 A N \exp\left(-\frac{\mu_0 E \cos \theta}{kT}\right) d(\cos \theta)}$$

setze $x = \cos \theta$ $a = \frac{\mu_0 E}{kT}$

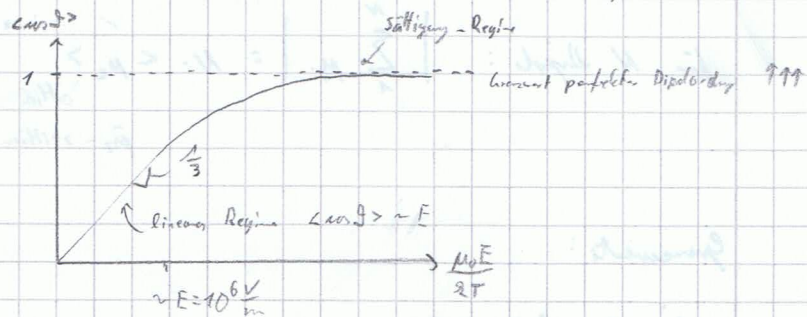
$$\langle x \rangle = \frac{\int_{-1}^1 x e^{ax} dx}{\int_{-1}^1 e^{ax} dx} = \frac{\frac{1}{a} e^{ax} + \frac{1}{a^2} e^{-ax}}{\frac{1}{a} e^{ax} - \frac{1}{a^2} e^{-ax}} - \frac{1}{a} = \text{coth } a - \frac{1}{a} \equiv L(a)$$

Langevin-Funktion

Langevin 1900
Paramagnetismus

Rücksubstitution:

$$\langle \cos \theta \rangle = L\left(\frac{\mu_0 E}{kT}\right)$$



↳ Näherung für lineares Regime:

$$\langle \cos \theta \rangle \approx \frac{1}{3} \frac{\mu_0 E}{kT} \quad \text{für} \quad \frac{\mu_0 E}{kT} \ll 1 \quad \text{bzw.} \quad \frac{\mu_0 E}{kT} \ll \frac{kT}{\mu_0 E} \ll 1$$

elekt
therm.
 Energie

↳ mittleres induziertes Dipolmoment in Feldrichtung \hat{z} :

$$\langle M_z \rangle_{\text{ind}} = \mu_0 \langle \cos \theta \rangle = \mu_0 \frac{\mu_0 E}{3kT} = \frac{\mu_0^2}{3kT} E_{\text{ext}}$$

$\rightarrow M_z = \epsilon_{0r} E_{\text{ext}}$

$$\hookrightarrow \epsilon_{0r} = \frac{\mu_0^2}{3kT} \quad \text{P. Debye} \quad \text{Orientierungspolarisation} \quad T\text{-abhängig}$$

Beitrag der Orientierungspolarisation zur gesamten Molekulpolarisation

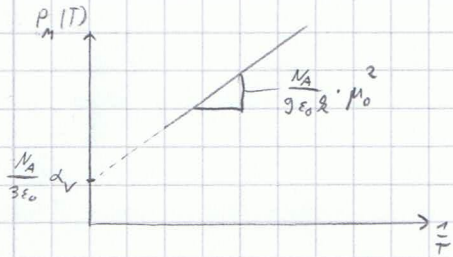
(vgl. Clausius-Mossotti-Gleichung):

$$P_m = \frac{\epsilon - 1}{\epsilon + 2} \frac{N}{V} = \frac{N_A}{3\epsilon_0} \left(\alpha_v + \frac{\mu_0^2}{3kT} \right)$$

Debye-Gleichung ($\mu_0 E \ll kT$)
 → Potenzen bei nanoskaligen

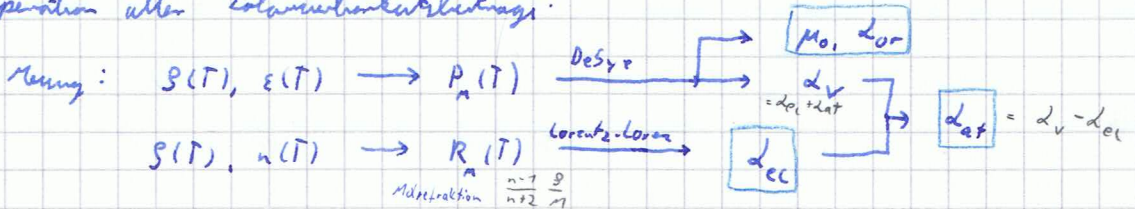
↳ Bestimmung von Polarisierbarkeit α_v und Dipolmoment μ_0 aus T -abhängigen

Messungen der Molekulpolarisation $P_m(T) = \frac{\epsilon(T) - 1}{\epsilon(T) + 2} \frac{N}{V}$



Messung von Clausius-Mossotti
 Elektronenpolarisation

Separation aller Polarisierbarkeitsbeiträge:



3.3 Dispersions- und Absorption

Erweiterung auf zeitlich veränderliche, insbesondere periodische, elektrische Felder

$E(t) = E_0 \cdot \cos(\omega t)$ oder in komplexer Schreibweise: $\tilde{E}(t) = E_0 \cdot e^{-i\omega t}$
 $= E_0 (\cos \omega t - i \sin \omega t)$

↳ Frequenzabhängigkeit dielektrischer Eigenschaften

3.3.1 Komplexe dielektrische Funktion

Zeitlich veränderliches Feld $\tilde{E} = E_0 e^{-i\omega t}$ induziert eine zeitlich periodische Polarisation,

gegebenfalls aber mit Phasenverschiebung δ :

$\tilde{P}(t) = P_0 \cdot e^{-i(\omega t + \delta)} = P_0 e^{-i\omega t} \cdot e^{-i\delta}$

Zusammenhang: $\tilde{P}(t) = \epsilon_0 \tilde{\chi} \tilde{E}(t)$
komplexe dielektrische Suszeptibilität $\tilde{\chi}(\omega)$

↳ $\tilde{\chi} = \frac{\tilde{P}(t)}{\epsilon_0 E(t)} = \frac{P_0}{\epsilon_0 E_0} \frac{e^{-i\omega t - i\delta}}{e^{-i\omega t}} = \chi e^{-i\delta} = \chi (\cos \delta - i \sin \delta) = \chi' - i \chi''$
Dispersions χ' / Absorption χ''
 $= \chi \cos \delta - i \chi \sin \delta$

$$\tilde{x} = x' - i x''$$

x' ... im Dielektrikum gespeicherte Energie

x'' ... dissipierte Energie (Wärmeverluste)

analog: $\tilde{\epsilon} = \hat{\chi} + 1 = \underbrace{(x' + 1)}_{\epsilon'} - i \underbrace{x''}_{\epsilon''}$

$\hookrightarrow \hat{P}(t) = \underbrace{[x'(t) - i x''(t)]}_{\tilde{x}(t)} \tilde{\epsilon}(t)$

3.3 Dispersion und Absorption

Erweiterung auf zeitlich veränderliche, insbesondere periodische elektrische

Felder:

$$E(t) = E_0 \cos(\omega t)$$

oder in komplexer Darstellung: $\tilde{E}(t) = E_0 e^{-i\omega t} = E_0 (\cos(\omega t) - i \sin(\omega t))$

=> Frequenzabhängigkeit der dielektrischen Eigenschaften:

3.3.1 Komplexe dielektrische Funktion

Zeitlich veränderliches Feld: $\hat{E} = E_0 e^{-i\omega t}$ induziert zeitlich periodische

Polarisation, ggf. aber mit Phasenverschiebung δ :

$$\hat{P}(t) = P_0 e^{-i(\omega t + \delta)} = P_0 e^{-i\omega t} \cdot e^{-i\delta}$$

Zusammenhang: $\hat{P}(t) = \epsilon_0 \tilde{\chi} \hat{E}(t)$

↳ komplexe dielektrische Suszeptibilität $\tilde{\chi}(\omega)$

$$\Rightarrow \tilde{\chi} = \frac{\hat{P}(t)}{\epsilon_0 \hat{E}(t)} = \frac{P_0}{\epsilon_0 E_0} \frac{e^{-i\omega t - i\delta}}{e^{-i\omega t}} = \chi e^{-i\delta}$$

$$\tilde{\chi} = \chi e^{-i\delta} = \chi (\cos\delta - i \sin\delta) = \underbrace{\chi \cos\delta}_{\chi'} - i \underbrace{\chi \sin\delta}_{\chi''} = \chi' - i\chi''$$

χ' : (Realteil) Dispersion \rightarrow im Dielektrikum gespeicherte Energie
 χ'' : (Imaginärteil) Absorption \rightarrow ~ dissipierte Energie

analog: $\hat{\epsilon} = \tilde{\chi} + 1 = \underbrace{(\chi' + 1)}_{\epsilon'} - i \underbrace{(\chi'')}_{\epsilon''}$

$$\Rightarrow \hat{P}(t) = \underbrace{[\chi'(\omega) - i\chi''(\omega)]}_{\tilde{\chi}(\omega)} \hat{E}(t)$$

$\tilde{\chi}(\omega)$: dielekt. Funktion

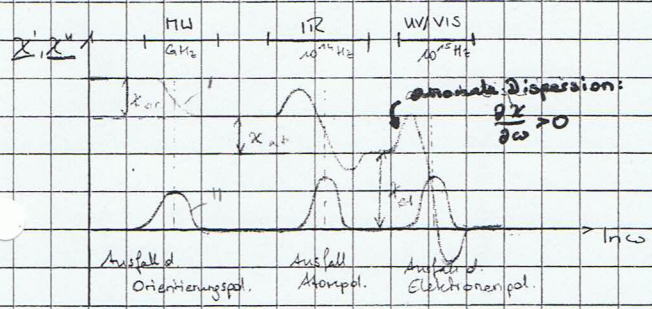
3.3.2 Frequenzabhängigkeit von Dispersion und Absorption

10.12.08

Bei steigender Frequenz fallen Polarisationsmechanismen in der Reihenfolge aus:

1. Orientierungspol. (Moleküle)
 2. Atom-/Ionenpol. (Atome)
 3. Elektronenpol. (Elektronen)
- ↑
Trägheit

=> Schematischer Verlauf:

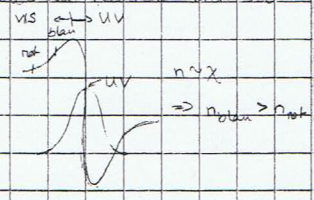


χ'' : keine rücktreibende Kraft \Rightarrow kein schwingungsfähiges System \Rightarrow keine Resonanz

Relaxations-spektren, Atom-schwingungen, Elektronen-spektren, Spektroskopie \Rightarrow hier wird χ'' beobachtet!

\Rightarrow deshalb wird von Absorptionsspektren gesprochen
 \Rightarrow Schema hier vereinfacht, da bei Molekülen mehrere Linien beobachtet werden

↑
monotoner Abfall "Relaxation"
 ↑
Abfall und Resonanzüberhöhung "anomale Dispersion" \Rightarrow Vgl. Brechung an einem Prisma



1) $\chi''(\omega)$ identisch mit Absorptionsspektrum!

(NW/IR/UV-VIS-Spektren)

2) anomale Dispersionsgebiete: $\frac{d\chi'}{d\omega} > 0$

$\Rightarrow n(\text{blaues Licht}) > n(\text{rotes Licht})$ bei Stoffen mit UV-Absorption

3.3.3 Debye-Relaxation

Einfachstes Modell für Ausfall der Orientierungspolarisation

Ansatz:

$$-\frac{dP}{dt} = \frac{1}{\tau} [P(t) - P_{eq}]$$

↑
Zeitl. Änderung
der Polarisation

$$P_{eq} = \epsilon_0 \chi E$$

vgl. Kinetik 1. Ordnung

$$-\frac{dc}{dt} = k [c(t) - c_{eq}]$$

τ : Relaxationszeit

$P(t)$: aktuelle Polarisation

P_{eq} : Gleichgewichtswert (statisch)

$$\Rightarrow P(t) < P_{eq} \Rightarrow \frac{dP}{dt} > 0$$

$$P(t) = P_{eq} \Rightarrow \frac{dP}{dt} = 0$$

$$P(t) > P_{eq} \Rightarrow \frac{dP}{dt} < 0$$

$$\Rightarrow \frac{d\tilde{P}}{dt} = -\frac{1}{\tau} [\tilde{P}(t) - \epsilon_0 \chi \tilde{E}]$$

$$\text{mit } \tilde{E} = E_0 e^{-i\omega t}$$

$$\tilde{P} = P_0 e^{-i\omega t + i\delta}$$

$$\frac{d\tilde{P}}{dt} = -i\omega P_0 e^{-i(\omega t + \delta)} = -i\omega \tilde{P}$$

$$\Rightarrow -i\omega \tilde{P} = -\frac{1}{\tau} [\tilde{P} - \epsilon_0 \chi \tilde{E}] \quad | : \tilde{E}$$

$$-i\omega \frac{\tilde{P}}{\epsilon_0 \chi \tilde{E}} = -\frac{1}{\tau} \left[\frac{\tilde{P}}{\epsilon_0 \chi \tilde{E}} - \epsilon_0 \chi \right] \quad | : \epsilon_0$$

$$-i\omega \tilde{\chi} = -\frac{1}{\tau} [\tilde{\chi} - \chi] \quad | \cdot \tau$$

$$+i\omega \tau \tilde{\chi} = \tilde{\chi} - \chi$$

$$(1 - i\omega \tau) \tilde{\chi} = \chi$$

$$\tilde{\chi} = \frac{\chi_{or}}{1 - i\omega \tau}$$

Debye-Relaxation (Komplex)

χ : stat. Suszeptibilität

Zerlegung in Real- u. Imaginärteil

$$\tilde{\chi}_{or} = \chi \frac{1}{1 - i\omega \tau} \cdot \frac{1 + i\omega \tau}{1 + i\omega \tau} = \chi \frac{1 + i\omega \tau}{1 + \omega^2 \tau^2} = \underbrace{\chi \frac{1}{1 + \omega^2 \tau^2}}_{\chi'(\omega)} + i \underbrace{\chi \frac{\omega \tau}{1 + \omega^2 \tau^2}}_{\chi''(\omega)}$$

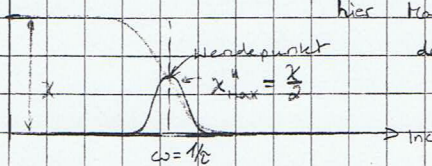
$$\chi'(\omega) = \frac{\chi}{1 + \omega^2 \tau^2}$$

$$\chi''(\omega) = \frac{\chi \omega \tau}{1 + \omega^2 \tau^2}$$

Debye-Relaxation (reell)

$\frac{x}{1+x^2}$: Lorentzfunktion

$\chi' \chi''$



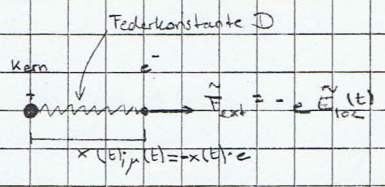
hier Maximum χ'' = Wendepunkt χ'
da hier nur Orientierungspol, betrachtet wird

Polymere: keine einheitl. Relaxationszeit \Rightarrow Verteilung

\rightarrow Cole-Cole-Relaxation (Relaxationszeitverteilung)

15.12.08

3.3.4 Quasielastisch gebundene Elektron



beschleunigte Ladung \rightarrow Abgabe von Energie durch elektromag. Strahlung
 \rightarrow Dämpfung

einfachstes klassisches Modell zur Beschreibung der anomalen Dispersion bei Ausfall der e^- -Polarisierbarkeit (analog Atom-/Ionenpol.)

DGL (erzwungener harmonischer Oszillator):

$$m\ddot{x} + \gamma\dot{x} + Dx = -e\tilde{E}_{10c}(t)$$

- $m\ddot{x}$: Trägheit
- $\gamma\dot{x}$: Dämpfung (Strahlung)
- Dx : Rückstellkraft
- $-e\tilde{E}_{10c}$: Störkraft (Ww e^- -Feld)

für periodisches Feld: $\tilde{E}_{10c} = E_0 e^{-i\omega t}$

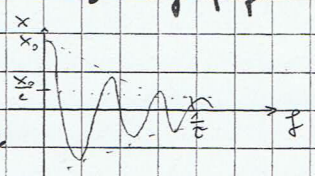
$$\tilde{x}(t) = x_0 e^{-i(\omega t + \delta)}$$

$$\dot{\tilde{x}}(t) = -i\omega x_0 e^{-i(\omega t + \delta)} = -i\omega \tilde{x}(t)$$

$$\ddot{\tilde{x}}(t) = (-i\omega)^2 \tilde{x}(t) = -\omega^2 \tilde{x}(t)$$

mit: $\ddot{\tilde{x}} + \frac{\gamma}{m}\dot{\tilde{x}} + \frac{D}{m}\tilde{x} = -\frac{e}{m}\tilde{E}_{10c}(t)$

ω_0^2 : Eigenfrequenz (ungedämpft)

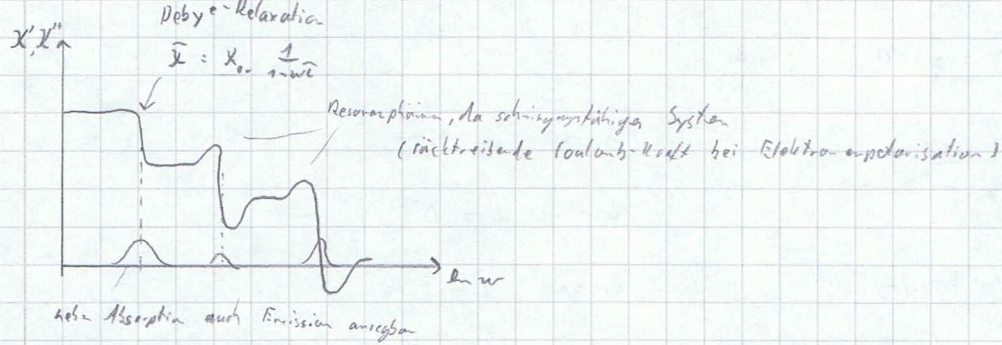


$$\Rightarrow -\omega^2 \tilde{x}(t) - \frac{i\gamma}{m}\dot{\tilde{x}}(t) + \omega_0^2 \tilde{x}(t) = -\frac{e}{m}\tilde{E}_{10c}(t) \cdot e$$

$$(\omega_0^2 - \omega^2) \frac{\tilde{x}(t)e}{-m} - \frac{i\gamma}{m} \frac{\dot{\tilde{x}}(t)e}{-m} = -\frac{e^2}{m}\tilde{E}_{10c}$$

$$\tilde{x} [(\omega_0^2 - \omega^2) - \frac{i\gamma}{m}] = \frac{e^2}{m}\tilde{E}_{10c} \quad | \cdot \tilde{E}_{10c}^{-1}, \text{ da } \tilde{x} = \tilde{x} \cdot \tilde{E}_{10c}^{-1}$$

$$\tilde{x} [(\omega_0^2 - \omega^2) - \frac{i\gamma}{m}] = \frac{e^2}{m} \Rightarrow \tilde{x} = \frac{e^2/m}{(\omega_0^2 - \omega^2) - \frac{i\gamma}{m}}$$



3.3.4 Das Anisotropie gebundene Elektron

Federkonstante D Hohes D \rightarrow kleine Polarisierbarkeit

norm \rightarrow $\tilde{E} = -e \tilde{E}_{\text{loc}}(t)$

$\mu(t) = \tilde{x}(t) \cdot e$
da e^- verschoben

Einfaches klassisches Modell zur Beschreibung der anomalen Dispersion bei Anfall des e-Polarisierbarkeit (analog Atom-/Zerpolarisierung)

DAL (erzwungen harmonischer Oszillator) Störterm (vvw E-Feld)

$$m \ddot{x} + \gamma \dot{x} + Dx = -e \tilde{E}_{\text{loc}}(t)$$

Trägheit Dämpfung (beschleunigte Ladung \rightarrow Strahlung \rightarrow Energieverlust)

Rückstellkraft (Restchen des Gitteratoms)

für periodisches Feld: $\tilde{E}_{\text{loc}} = E_0 e^{-i\omega t}$

$$\tilde{x}(t) = x_0 e^{i(\omega t + \delta)}$$

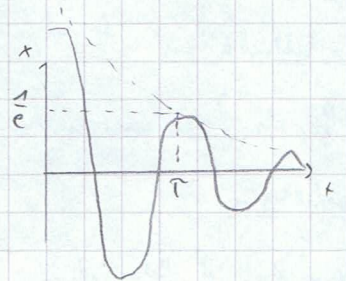
$$\dot{\tilde{x}}(t) = -i\omega x_0 e^{i(\omega t + \delta)} = -i\omega \tilde{x}(t)$$

$$\ddot{\tilde{x}}(t) = -\omega^2 \tilde{x}(t)$$

mit:

$$\ddot{\tilde{x}} + \frac{\gamma}{m} \dot{\tilde{x}} + \frac{D}{m} \tilde{x} = -\frac{e}{m} \tilde{E}_{\text{loc}}(t)$$

$\omega_0 = \sqrt{\frac{D}{m}}$ Eigenfrequenz (ungetriggert)



$$\hookrightarrow -\omega^2 \tilde{x}(t) - \frac{i\gamma}{m} \dot{\tilde{x}}(t) + \omega_0^2 \tilde{x}(t) = -\frac{e}{m} \tilde{E}_{\text{loc}} \quad | \cdot e$$

$$(\omega_0^2 - \omega^2) \tilde{x}(t) e^{-i\omega t} - \frac{i\gamma}{m} \dot{\tilde{x}}(t) e^{-i\omega t} = -\frac{e}{m} \tilde{E}_{\text{loc}} e^{-i\omega t}$$

$$\tilde{\mu} [(\omega_0^2 - \omega^2) - \frac{i\gamma}{m}] = + \frac{e^2}{m} \tilde{E}_{\text{loc}} \quad | : \tilde{E}_{\text{loc}} \quad \tilde{\chi} = \frac{\tilde{\mu}}{\tilde{E}_{\text{loc}}}$$

$$\tilde{\chi} [(\omega_0^2 - \omega^2) - \frac{i\gamma}{m}] = \frac{e^2}{m}$$

$$\hookrightarrow \tilde{\chi} = \frac{\frac{e^2}{m}}{(\omega_0^2 - \omega^2) - \frac{i\gamma}{m}} \quad \text{Klassische Oszillatordielectric}$$

$$\tilde{\chi} = \frac{e^2}{m} \cdot \frac{\omega_0^2 - \omega^2}{(\omega_0^2 - \omega^2)^2 + \frac{\gamma^2}{m^2}} - i \frac{\frac{e^2}{m} \frac{\gamma}{m}}{(\omega_0^2 - \omega^2)^2 + \frac{\gamma^2}{m^2}}$$

$\tilde{\chi}' = \frac{e^2}{m} \frac{\omega_0^2 - \omega^2}{(\omega_0^2 - \omega^2)^2 + \frac{\gamma^2}{m^2}}$ (Klassische Lorentz)

$\tilde{\chi}'' = \frac{e^2}{m} \frac{\frac{\gamma}{m}}{(\omega_0^2 - \omega^2)^2 + \frac{\gamma^2}{m^2}}$

$$\mu = \epsilon \tilde{E}_{\text{loc}}$$

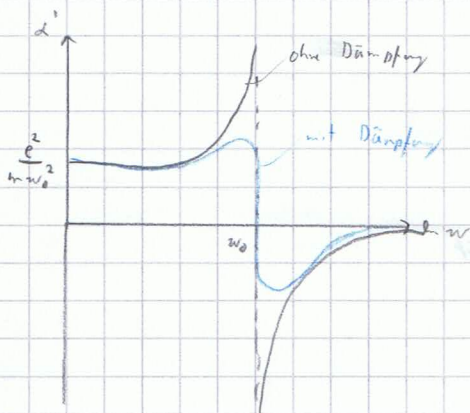
ohne Dämpfer: $\frac{1}{m} = \frac{1}{\omega^2} = 0 \quad \omega \rightarrow \infty$

$\hookrightarrow \tilde{d} = d' = \frac{e^2}{m} \frac{1}{\omega_0^2 - \omega^2}$

$\omega \rightarrow 0: d' \rightarrow \frac{e^2}{m \omega_0^2}$

$\omega \rightarrow \infty: d' \rightarrow 0^-$

$\omega \rightarrow \omega_0: d' \rightarrow \pm \infty$



$\frac{e^2}{m}$ klassische Oszillationshöhe

Bewegung des e^- in anderen Zustand (= Schwingung)

QM: $\frac{e^2}{m} \rightarrow f_{ij} \sim \langle \psi_i^* | \hat{p} | \psi_j \rangle$
Matrixelement

3.4 Spontane Polarisation

gewöhnliche Dielektrika:

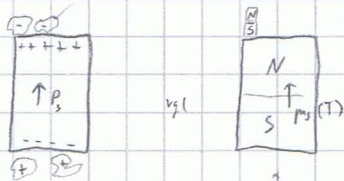
elektrische Polarisation als Folge eines d. Feldes $\rightarrow \left(\frac{\partial P}{\partial E} \right) \neq 0$

piezoelektrika:

P_{ei} als Folge einer mechanischen Spannung $\rightarrow \left(\frac{\partial P_i}{\partial \sigma_{jk}} \right) \neq 0$

pyroelektrika:

Spontane d. Polarisation $P_{ec} = P_s$ auch ohne äußeres Kraftfeld ($\vec{E}_e = 0, \sigma_{jk} = 0$)
Staubteilchen Spontan



keine Kompensation, da keine Monopole

P_s stark T -abhängig \rightarrow Änderung von $T \rightarrow$ mehr Ladung an Oberfläch \rightarrow Nachweis bis Staubteilchen sieht

nicht anlegen \rightarrow Zeit

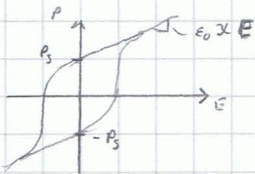
P_s ist i.a. temperaturabhängig

$\hookrightarrow \left| \frac{\partial P_s}{\partial T} \right| > 0$ pyroelektrischer Effekt

Ferroelektrika \rightarrow schaltbar \rightarrow Korrosionsfeldstärke $<$ Durchschlagfestigkeit

- dielektrische Materialien mit spontaner Polarisation unterhalb einer Curie-Temperatur T_c (identisch mit Ferroelektrika)
- mindestens 2 dielektrisch äquivalente Richtungen von P_s möglich sein
- feldinduzierte Umorientierung der P_s -Richtung in einem Systemachtfelder

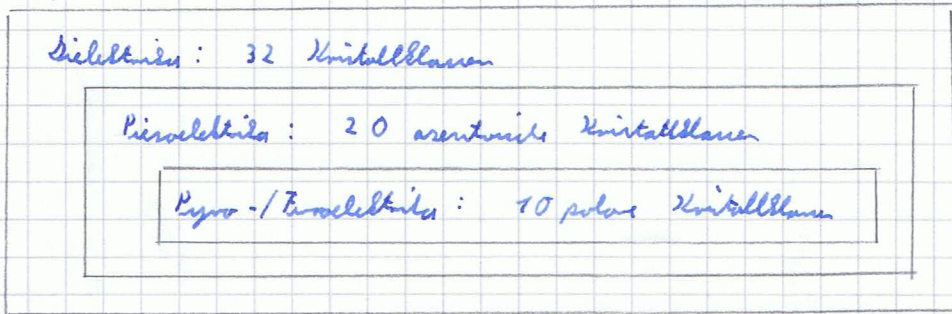
Umkehrvorgang: $P = \pm P_s + \epsilon_0 \chi E$



- Domänenstruktur analog Unipolaren Keramiken

Strukturelle Voraussetzung (Pyro- / Ferroelektrizität)

Dipolmoment + polare Kristallklasse

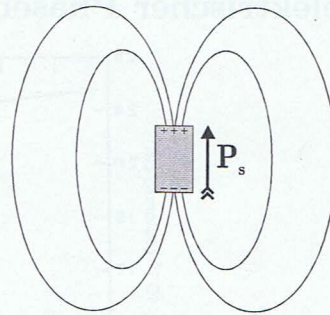
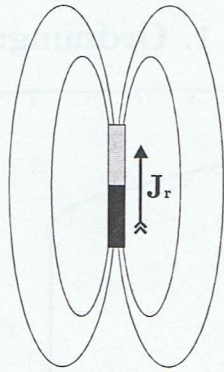


- alle Pyro- u. Ferroelektrika sind Piezoelektrika
 \hookrightarrow besonders großer piezoelektrischer Effekt
- Ferroelektrizität: Piezoelektrizität + Selbstpolarität
- quantitativ: Landau-Theorie der Ferroelektrizität

Ferroelektrische Festkörper

Ferromagnetismus

Ferroelektrizität



$H = 0, T < T_C$

$E = 0, T < T_C$

spontane (remanente)
Magnetisierung J_r

spontane elektrische
Polarisation P_s

Table 1.1. Chemical formulas and Curie points of some ferroelectric crystals.

Name of substance	Chemical formula	Curie point
Barium titanate	BaTiO ₃	120° C
Lithium niobate	LiNbO ₃	1210° C
Antimony sulfoiodide	SbSI	20° C
Potassium dihydrogen phosphate (KDP)	KH ₂ PO ₄	- 150° C
Ammonium fluoberyllate	(NH ₄) ₂ BeF ₄	- 98° C
Methylammonium aluminum alum (or sulphate) (MASD)	CH ₃ NH ₃ Al(SO ₄) ₃ ·12H ₂ O	- 96° C
Colemanite	Ca ₂ B ₅ O ₁₁ ·5H ₂ O	- 7° C
Strontium dicalcium propionate	Ca ₂ Sr(CH ₃ CH ₂ COO) ₆	8.5° C
Rochelle salt (RS)	KNaC ₄ H ₄ O ₆ ·4H ₂ O	- 18° C; 24° C
Triglycine sulphate (TGS)	(NH ₂ CH ₂ COOH) ₃ ·H ₂ SO ₄	49° C
Trisarcosine calcium chloride	(CH ₃ NHCH ₂ COOH) ₃ ·CaCl ₂	- 146° C
Sodium nitrite	NaN ₂ O	164° C
Lead germanate	Pb ₅ Ge ₃ O ₁₁	180° C

"Anti-ferroelektr."

↳ nicht ferroelektrisch als ferromagnetisch

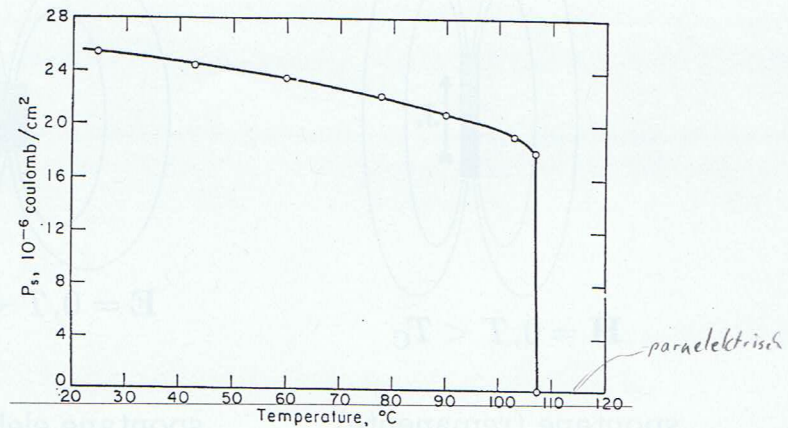
↳ Ferro magnetisch & Ferroelektrisch

↳ Magnetisierung schaltbar über E-Feld

Eigenschaften der Ferroelektrika

- Spontane elektrische Polarisation P_s unterhalb einer kritischen Temperatur T_C (Curie-Temperatur)

– Ferroelektrischer Phasenübergang 1. Ordnung:

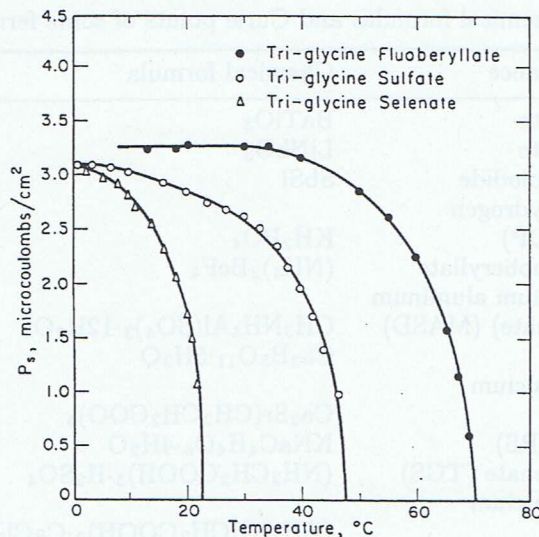


Temperaturverlauf der spontanen Polarisation P_s des Bariumtitanats $BaTiO_3$ [W. J. MERZ, *Phys. Rev.* **91**, 513 (1953)].

$$p = \left(\frac{\partial G}{\partial E} \right)$$

– Ferroelektrischer Phasenübergang 2. Ordnung:

↳ Verschiebung

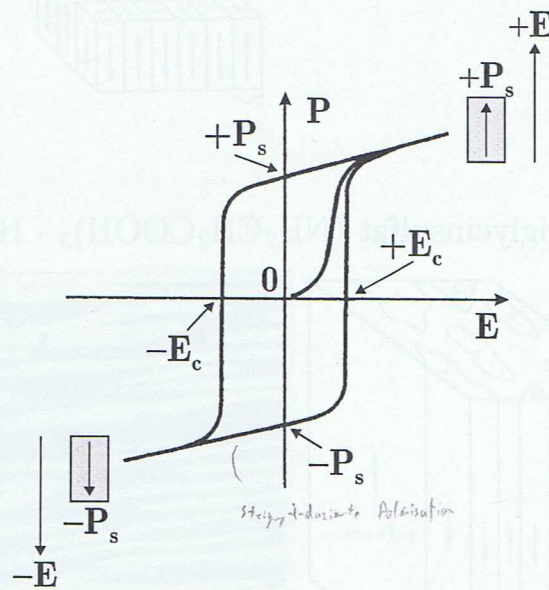


Temperaturabhängigkeit der spontanen Polarisation P_s von Triglycin-sulfat, -selenat und -fluoberyllat [S. HOSHINO, T. MITSUI, F. JONA, AND R. PEPINSKY, *Phys. Rev.* **107**, 1255 (1957)].

• **Polarisationsumkehr und Hysterese im elektrischen Feld:**

– Ferroelektrische **Hystereseschleife:**

(P_s : spontane Polarisation, E_c : Koerzitivfeldstärke)



– Beide Schaltzustände ($+P_s, -P_s$) sind **energetisch äquivalent**.

– Temperaturabhängigkeit der Hysterese am ferroelektrischen Phasentübergang (T_C):

→ P_s sinkt

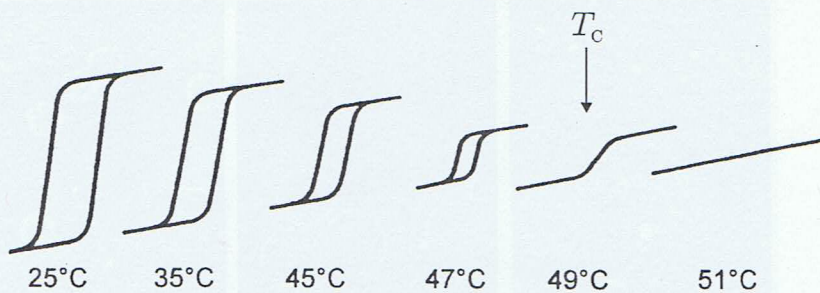
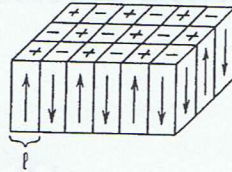


Fig. 1.28. Hysteresis dependence of the polarization of a TGS crystal on electric field in the polar phase at various temperatures at a frequency of 0.1 Hz.

• Domänenstruktur ferroelektrischer Kristalle:

- Kristall zerfällt unterhalb T_C in Bereiche entgegengesetzter Polarisationsrichtungen (**Domänen**):



Beispiel: Triglycinsulfat $(\text{NH}_2\text{CH}_2\text{COOH})_3 \cdot \text{H}_2\text{SO}_4$, "TGS"

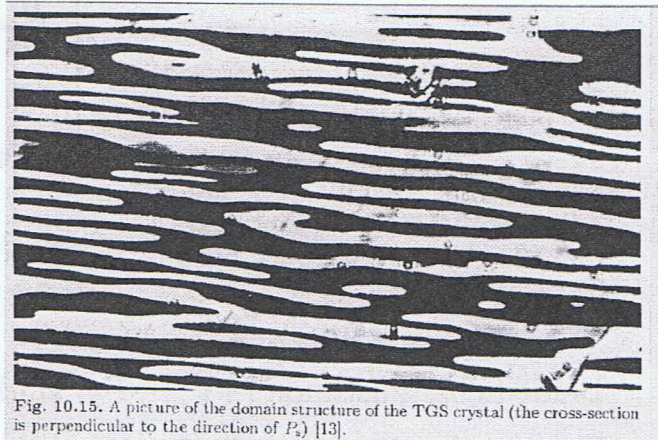
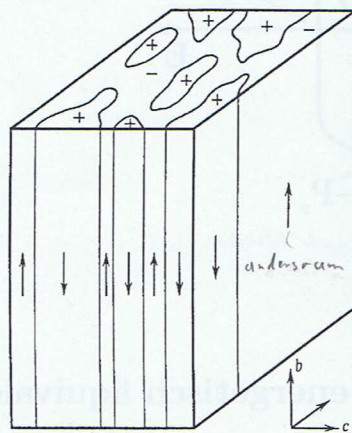
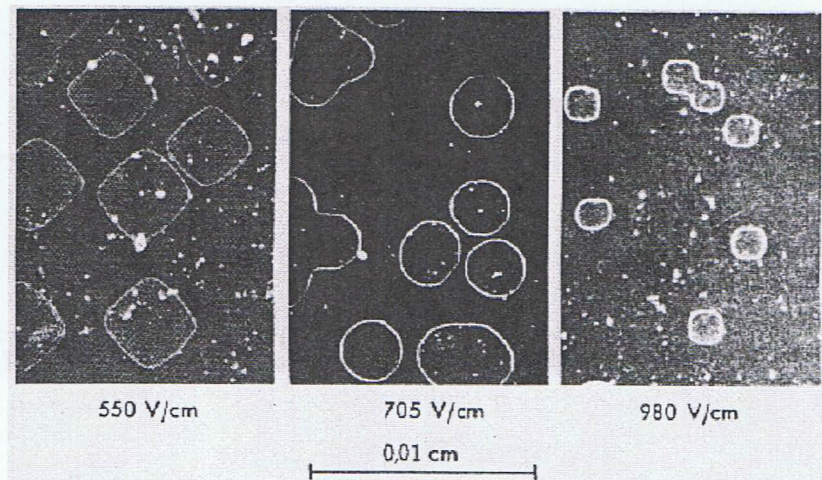


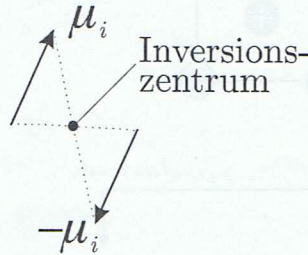
Fig. 10.15. A picture of the domain structure of the TGS crystal (the cross-section is perpendicular to the direction of P_s) [13].

- Domänenwandverschiebung beim Schaltvorgang (BaTiO_3):



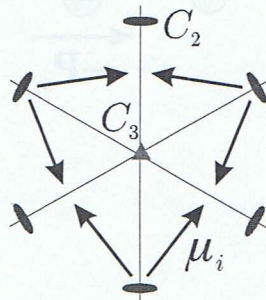
Struktur und Symmetrie

- Spontane Polarisation (Vektor!) ist in Kristallen mit zentrosymmetrischer Punktgruppe ausgeschlossen:



$$P_s = \frac{1}{V} \sum \mu_i = 0$$

- Nicht alle azentrischen Raumgruppen sind auch polar.
Beispiel: Punktgruppe D_3 bzw. 32 (z. B.: α -Quarz)



$$P_s = \frac{1}{V} \sum \mu_i = 0$$

↳ Piezoelektrisch nicht Pyroelektrisch

- Verbleibende Punktgruppen mit möglicher spontaner Polarisation:
10 polare Punktgruppen (Kristallklassen)

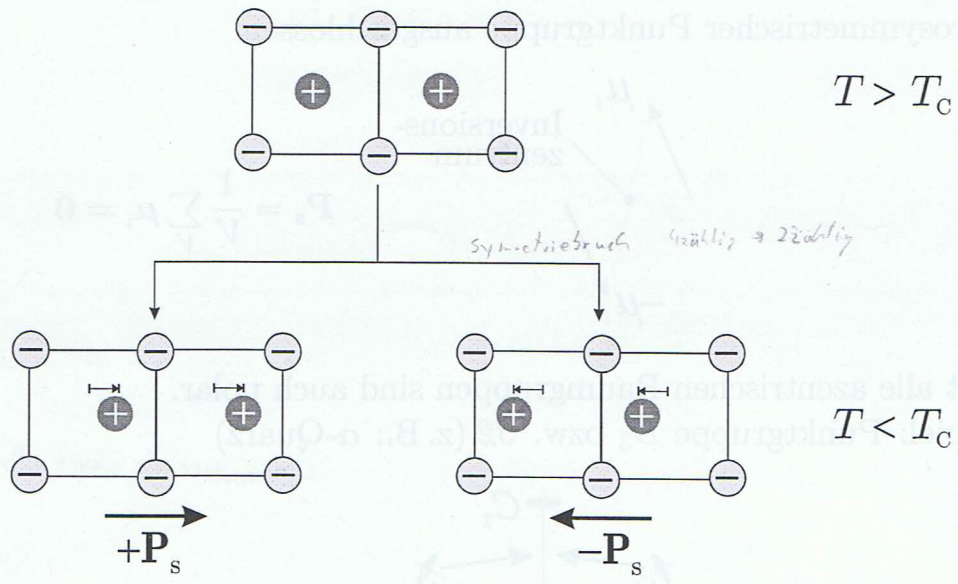
Kristallsystem	polare Punktgruppe	
triklin	C_1 (1)	
monoklin	C_S (m)	C_2 (2)
orthorhombisch	C_{2v} (mm2)	
triklin	C_3 (3)	C_{3v} (3m)
tetragonal	C_4 (4)	C_{4v} (4mm)
hexagonal	C_6 (6)	C_{6v} (6mm)

Dielektrika (32 Punktgruppen)

Piezoelektrika
(20 azentrische Punktgruppen)

Pyro- und Ferroelektrika
(10 polare Punktgruppen)

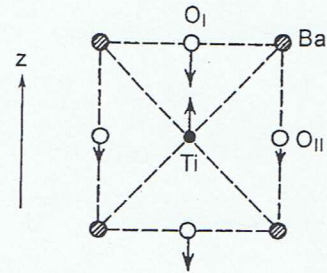
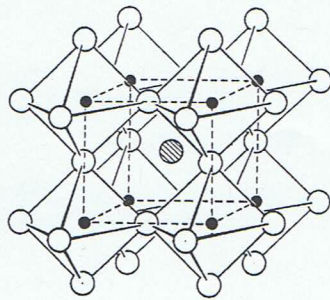
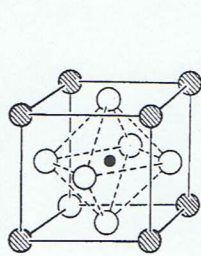
- Ferroelektrische Phasenumwandlung:
Änderung der Kristallsymmetrie in eine polare Punktgruppe



Kristallsystem	polare Punktgruppe
trigonal	C_3 (1)
monoklin	C_2 (m)
orthorhombisch	C_{2v} (mm2)
trigonal	C_{6v} (3m)
tetragonal	C_{4v} (mm)
hexagonal	C_{6v} (3m)

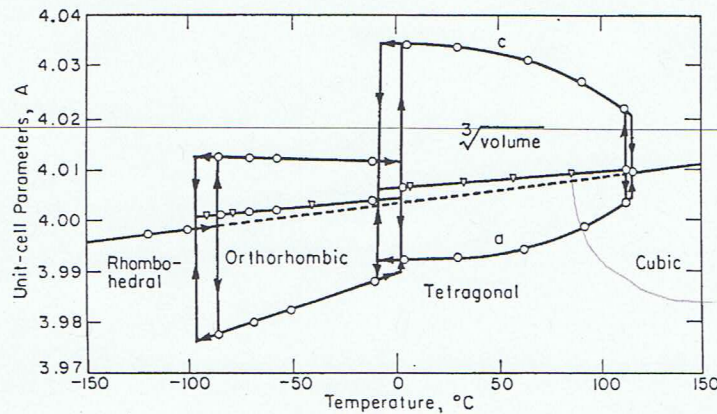
• Beispiel: Bariumtitanat BaTiO_3

rhomboedrisch $\xrightleftharpoons{-90^\circ\text{C}}$ orthorhombisch $\xrightleftharpoons{5^\circ\text{C}}$ tetragonal $\xrightleftharpoons{120^\circ\text{C}}$ kubisch
 ($3m$) ($mm2$) ($4mm$) ($m3m$)



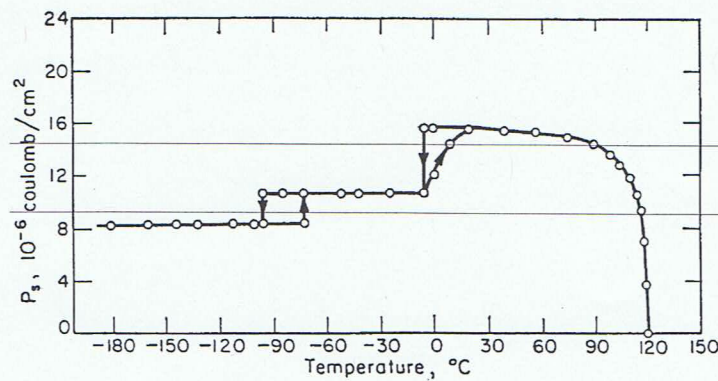
↳ Verschiebung in z-Richtung

Perovskit-Struktur der kubischen Phase. Ionenverschiebung am Übergang
kubisch → tetragonal.



Röntgenanalyse

in: H. von Witzke, Stat.



Landau - Theorie ferroelektrischer Phasenübergänge

Ordnungsparameter:

in Hochtemperaturphase = ungerichtet muss er exakt 0 sein

charakteristisch für Phasenübergang

nicht eindeutig (→ geschickt wählen!)

Wähle P_s als Ordnungsparameter

M_s (aktuelle $S-S$ Phase) Dichte der Cooper-Paare
Hässig → Pass

$P_s = 0$ paraelektr. Phase

$P_s \neq 0$ ferroelektr. Phase

P_s - Map für die Dipolordnung

Landau - Entwicklung:

Polynomentwicklung eines thermodynamischen Potentials (hier: \hat{G}) nach dem Op um $T = T_c$

$P_s \uparrow = P_s \downarrow$ physikalisch äquivalent $\rightarrow G(P_s \uparrow) = G(P_s \downarrow) \rightarrow$ ungerade Reihenglieder weglassen

bei $E=0$ wegen $\hat{G}(+P_s) = \hat{G}(-P_s)$

↳ nur gerade Potenzen von P_s :

nur dieser Teil abhängig von T

$$\hat{G} = \hat{G}_0 + \frac{1}{2} a (T - T_c) P_s^2 + \frac{1}{4} b P_s^4 + \frac{1}{6} c P_s^6 + \dots$$

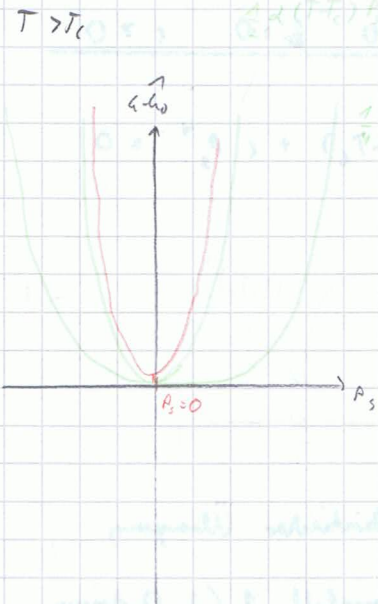
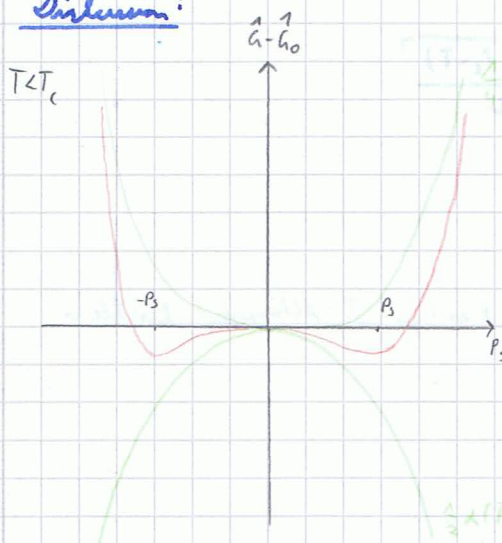
freie Enthalpie der paraelektrischen Phase

Definites Tem sollte positiv sein, wegen Stabilität

a, b, c Entwicklungskoeffizienten

$a > 0$

Diskussion:



↳ energetisch äquivalente Minima

↳ 2 Domänen mit $P_s \uparrow$ $P_s \downarrow$

↳ ferroelektrische Phase

↳ nur paraelektrische Phase da nur ein Minimum bei $P_s = 0$

$$\hat{G} = \hat{G}_0 + \frac{1}{2} \alpha (T - T_c) \rho_s^2 + \frac{1}{4} b \rho_s^4 + \frac{1}{6} c \rho_s^6$$

GK-Wert um ρ_s aus Minimierung von $\hat{G}(\rho_s) : \left. \frac{\partial \hat{G}}{\partial \rho_s} \right|_T = 0$

$\hookrightarrow \alpha (T - T_c) \rho_s + b \rho_s^3 + c \rho_s^5 = 0 \quad | : \rho_s \neq 0$

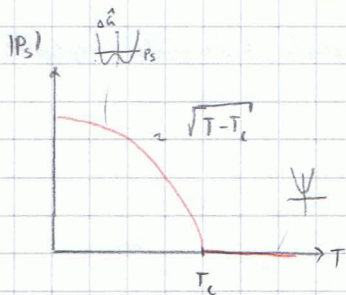
\hookrightarrow triviale Lösung $\rho_s = 0$ für $T > T_c$

für $\rho_s \neq 0$ ($T < T_c$)

$$\alpha (T - T_c) + b \rho_s^2 + c \rho_s^4 = 0$$

(i) $\alpha > 0, b > 0, b \gg c \geq 0$

$$\alpha (T - T_c) + b \rho_s^2 = 0 \quad \rightarrow \quad \rho_s = \pm \sqrt{\frac{\alpha (T_c - T)}{b}}$$



\rightarrow kritischer Exponent = $\frac{1}{2}$

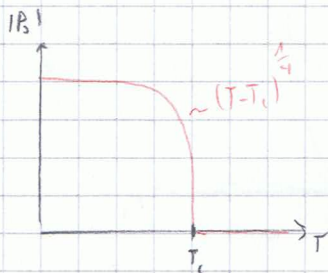
$$\alpha, b, c = f(p)$$

\hookrightarrow Phasenübergang 1. Ordnung ist bei einem Druck 2. Ordnung

\hookrightarrow ferroelektrische Phasenübergang 2. Ordnung ($b > 0$)

iii) $\alpha > 0, b = 0, c > 0$

$$\alpha (T - T_c) + c \rho_s^4 = 0 \quad \rightarrow \quad \rho_s = \pm \sqrt[4]{\frac{\alpha (T_c - T)}{c}}$$



\rightarrow kritischer Exponent = $\frac{1}{4}$

sehr steiler Anstieg + geringe T-Abhängigkeit bei klein T

\hookrightarrow trikritischer Übergang

Grenzfall 1./2. Ordnung

(iii) $\underline{a > 0 \quad b < 0 \quad c > 0}$

$$a(T - T_c) + b P_s^2 + c P_s^4 = 0$$

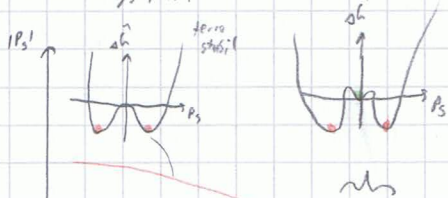
$$\frac{a(T - T_c)}{c} + \frac{b}{c} P_s^2 + P_s^4 = 0$$

$$P_s = \pm \sqrt{-\frac{b}{2c} + \sqrt{\frac{b^2}{4c^2} + \frac{a(T_c - T)}{c}}}$$

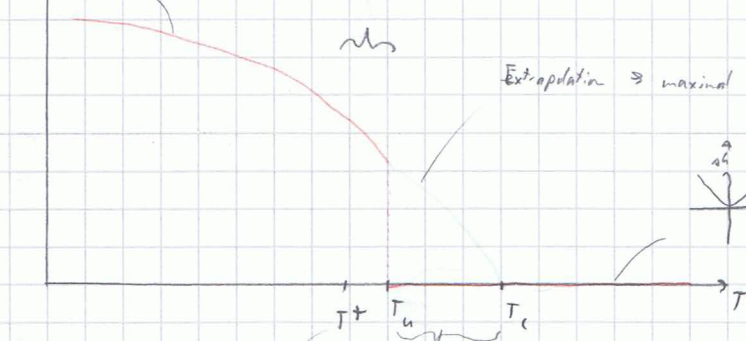
$$T_u = T_c - \frac{3b^2}{4ac}$$

$$T^* = T_c - \frac{b^2}{4ac}$$

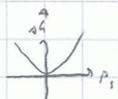
Unterkühlungslimit



ferro stabil
para metastabil



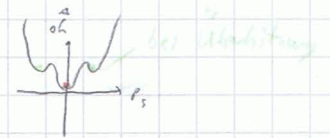
Extrapolation \Rightarrow maximal bis T_c überhitzen



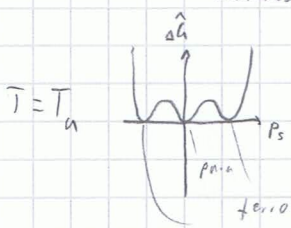
nur paraelektische Phase stabil

Unterkühlungsgrenze

absolutes Minimum im Ursprung \Rightarrow



\hookrightarrow paraelekt. stabil ; ferroelekt. metastabil



\hookrightarrow alle 3 Zustände gleiche Energie \Rightarrow stabile Koexistenz der beiden Phasen \rightarrow 1. Ordnung

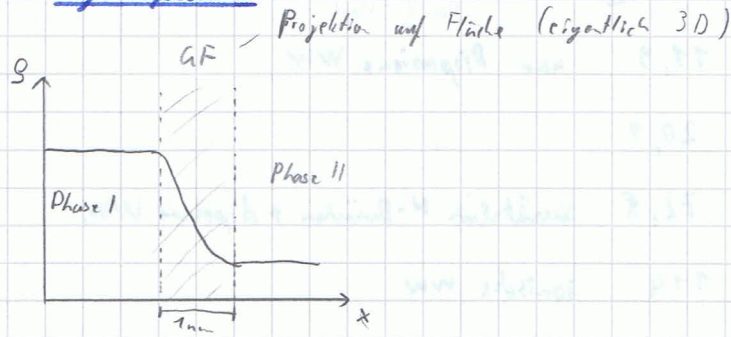
Anmerkungen:

(i) Vereinfachen der Landau-Koeffizienten b bestimmt (bei $a > 0, c > 0$) Natur der Phasenumwandlung

(ii) weitere thermodynamische Eigenschaften wie $c_p(T), \alpha(T), \dots$ zugänglich (da $g(T)$ bekannt)

(iii) allgemein anwendbar (\hookrightarrow Supraleiter, Ferroelektrika, Flüssigkristalle), werden qualitativ korrekt quantitativ in Nähe von T_c falsch, da 2. Ableitung Divergenz zeigt \Rightarrow Ableitung existiert nicht \Rightarrow Problem bei Taylor

4. Grenzfläche



Grenzfläche: Übergangsbereich zwischen 2 Phasen (s-l, l-l, s-s, ...)

Oberfläche: (streng genommen ^{flüssig} fest \rightarrow Vakuum) aber oft auch s-g; l-g

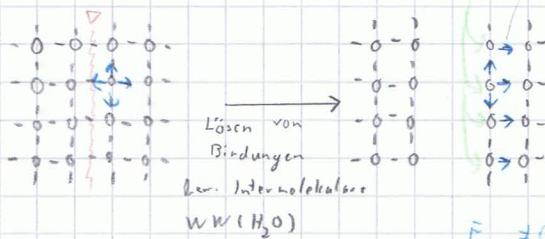
Grenzfläche zwischen einer kondensierten Phase (s, l) und einem Gas / Vakuum

Charakteristischer Unterschied in den Eigenschaften Grenzfläche \leftrightarrow Volumen
große technische Bedeutung (Beschreibung, Katalyse, Membranen, Nanowissenschaft, "Leben" ...)

\hookrightarrow Surface Science als eigenständiges Fachgebiet

freie Bindungsstellen (\rightarrow größere Reaktivität \rightarrow Katalyse)
Oberflächenspannung, da 2te Kohäsionshalbkugel fehlt

4.1 Oberflächenspannung



$F_{res} \neq 0$ ins Innere 1er Phase

\hookrightarrow Oberflächenspannung

\Rightarrow spezifische Oberflächenarbeit bzw. Oberflächenspannung:

$$\sigma = \frac{\Delta W_E}{\Delta A}$$

Dimension:

$$\frac{J}{m^2}$$

spezifische Oberflächenarbeit

Skalar

$$\frac{N}{m}$$

Oberflächenspannung

Vektor

- spezifische Oberflächenarbeit und Oberflächenspannung betragsmäßig gleich, aber "Erstarrung" gerichtet

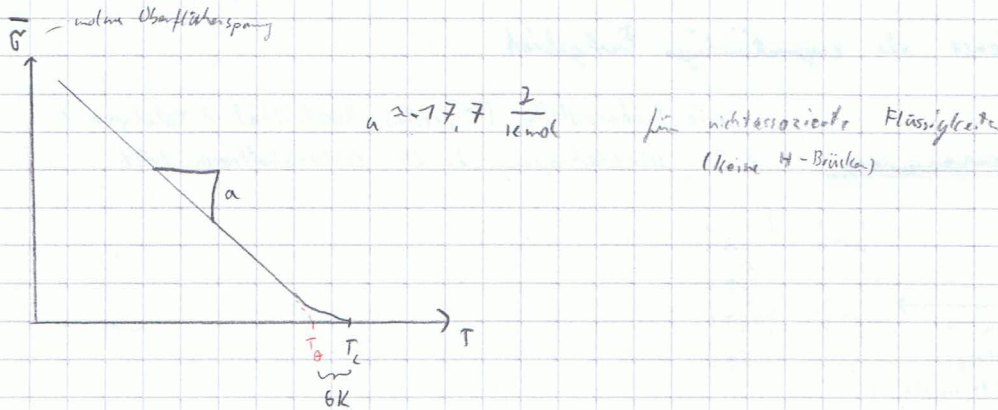
- in Zählungen anisotrop $\sigma_{110} \neq \sigma_{100} \neq \dots$

Bsp.:	T/K	$\sigma \frac{mJ}{m^2}$	
Ar (l)	90	11,9	Van der Waals nur Dispersions WW
n-Heptan (l)	293	20,1	"
H ₂ O (l)	293	72,8	zusätzlich H-Brücken + dipolare WW
NaCl (l)	1073	114	ionische WW
Hg (l)	293	486	metallische WW
Diamant (s) (111)	298	11400	Kovalente WW

↳ σ steigt mit Stärke intermolekularer WW / Bindungen
 ↳ FK sehr hohen σ !

Oberflächenspannung im Fließpunkt am kritischen Punkt = 0 da Phase unaufschmelzbar (e-g-ähnlich)

Temperaturabhängigkeit der Oberflächenspannung



Oberflächenspannung von Flüssigkeiten verschwindet am kritischen Punkt T_c
 (Ununterscheidbarkeit \rightarrow kein Phasengrenze)

empirischer Zusammenhang: Eötvösche Regel

$$\bar{\sigma} = a \cdot [(T_c - 6K) - T]$$

↑
 molare Oberflächenspannung

$$\bar{\sigma} = c \cdot \bar{V}^{\frac{2}{3}} \cdot N_A^{\frac{1}{3}} \quad \left[\frac{J}{mol} \right]$$

↑
 Platzbedarf von N_A Teilchen

$\frac{J}{m^2}$ $\frac{m^2}{mol^{\frac{2}{3}}}$ $\frac{1}{mol^{\frac{1}{3}}}$

1 wüchelförmiger Teilchen



Kantenlänge $\sqrt[3]{\frac{V}{N_A}}$

$$V = \frac{\bar{V}}{N_A}$$

$$\hookrightarrow \text{Flächenbedarf: } \left(\frac{\bar{V}}{N_A}\right)^{\frac{2}{3}} = \bar{V}^{\frac{2}{3}} \cdot N_A^{-\frac{2}{3}}$$

$$\hookrightarrow \text{Flächenbedarf für } N_A \text{-Teilchen: } N_A \cdot \bar{V}^{\frac{2}{3}} \cdot N_A^{-\frac{2}{3}} = \bar{V}^{\frac{2}{3}} N_A^{\frac{1}{3}}$$

Universelles Verhalten:

→ Theorem der Überkritischen Zustände

$$\bar{v} \approx a (T_c - T) \quad | : T_c$$

$$\frac{\bar{v}}{T_c} = a \left(1 - \frac{T}{T_c}\right)$$

$T_r \leftarrow$ reduzierte T (dimensionslos)

$$\hookrightarrow \underline{\underline{\frac{\bar{v}}{T_c} = a(1 - T_r)}}$$

nicht für Festkörper, da aufgrund von Symmetrie des Festkörpers kein kritisches Punkt
im fest-gas-GGW

Thermodynamische Behandlung

$$\delta W_g = \overset{\text{intensiv}}{\bar{\sigma}} \cdot \overset{\text{extensiv}}{dA} \quad [J]$$

bei reversiblen und infinitesimaler Änderung der Oberfläche dA :

$$\delta W_g = \bar{\sigma} \cdot dA$$

isotroper Fall \rightarrow samt Tension

↑
Arbeitskoordinate

Arbeitskoeffizient

verknüpfen Arbeitsterm in den Zustandsgleichungen

$$dU = T dS - p dV + \sum \mu_i dn_i + \bar{\sigma} dA$$

$$dH = T dS + V dp + \sum \mu_i dn_i + \bar{\sigma} dA$$

$$dG = -S dT + V dp + \sum \mu_i dn_i + \bar{\sigma} dA$$

$$dF = -S dT - p dV + \sum \mu_i dn_i + \bar{\sigma} dA$$

da A als unabhängige Variable gewählt ist, keine Legendre-Transformation des $\bar{\sigma} dA$ -Terms

$$\hookrightarrow \sigma = \left(\frac{dU}{dA} \right)_{S, V, n_i} = \left(\frac{\partial H}{\partial A} \right)_{S, P, n_i} = \left(\frac{\partial G}{\partial A} \right)_{T, P, n_i} = \left(\frac{\partial F}{\partial A} \right)_{T, V, n_i}$$

Folgen der Oberflächenspannung

a) Minimierung der Oberflächenenergie

- Flüssigkeiten: kugelförmige Tropfen (\rightarrow Minimaloberfläche)

- Festkörper: j. W. Gibbs:

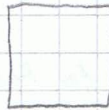
$$\sum_{\text{Mittelfläche:}} \sigma_i \cdot A_i = \text{minimal}$$

$$\sigma_1 < \sigma_2$$

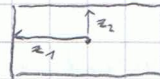


$$z_1 < z_2$$

$$\sigma_1 = \sigma_2$$



$$\sigma_1 > \sigma_2$$

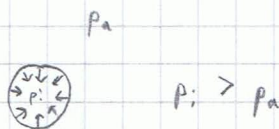


$$z_1 > z_2$$

Wulffsche Satz: $\frac{\sigma_1}{z_1} = \frac{\sigma_2}{z_2} = \frac{\sigma_3}{z_3} = \dots$

Flächen mit kleinstem σ werden am stärksten ausgebildet (kleine Kristallite \rightarrow Defekte nur für kleine Einheitszelle im Gitter mit ihrem Dampf)

b) Kapillendruck, erhöhter Dampfdruck kleiner Tropfen



c) Kapillarität, Benetzung

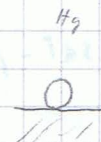


Kapillaraszension (bei H_2O) Kapillardepression

\hookrightarrow 3 Anz./Oberflächenspannung



benetzend



unbenetzend

d) Oberflächenaktivität, Emulsionsphänomene, L.D.-Films, SAMs

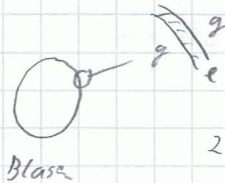


Mordlagen

e) Abweichungsphänomene



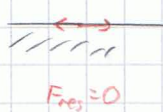
5.2 Gekrümmte Grenzflächen



eben:

konvex

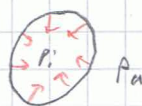
konkav



↳ stets Kraft im Innern einer kugelförmig gekrümmten Oberfläche

i) Kapillardruck

Tropfen:



$$p_i > p_a$$

$$\Delta p = p_i - p_a \quad \text{Kapillardruck}$$

Betrachte Vergrößerung des Kugelradius um dr . ($r \rightarrow r + dr$)

↳ Änderung des Volumens: $V = \frac{4}{3} \pi r^3 \quad dV = 4\pi r^2 dr \quad \left(\frac{dV}{dr} = 4\pi r^2 \right)$

↳ der Oberfläche: $O = 4\pi r^2 \quad dO = 8\pi r dr$

prinzipiell Volumenarbeit = aufzuwendende Oberflächenarbeit

$$\begin{aligned} (p_i - p_a) dV &= \sigma dA \\ p_i \cdot 4\pi r^2 dr &= 8\pi r dr \sigma \end{aligned} \quad \rightarrow \quad \underline{\underline{p_i - p_a = \frac{2\sigma}{r}}}$$

Young-Laplace-Weichung

Bsp.: H_2O 293K $\sigma = 0,0752 \frac{N}{m}$

$r = 1 \mu m$ $p_g = 145 \frac{N}{m^2} = 0,00145 \text{ bar}$

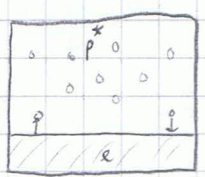
$r = 1 \mu m$ $p_g = 145.000 \frac{N}{m^2} = 1,45 \text{ bar}$

$r = 10 \text{ nm}$ $p_g = 145 \text{ bar}$

→ sehr großer Innendruck (größerer Anteil von p_g als Atmosphärendruck)

in Seifenblase: $p_g = 2 \cdot \frac{\sigma}{r}$
 da 2 Ozeffächen mit fast gleichen Radius

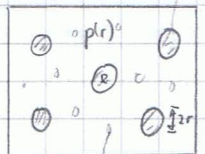
k) Dampfdruck klein Tropfen



p^x ... Sättigungsdampfdruck einer Ebene Ozeffäche

$T = const$

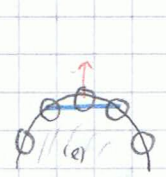
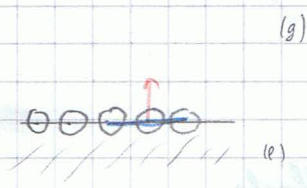
Flüssigkeit



$p(r) > p^x = p(r \rightarrow \infty)$

Kristalle

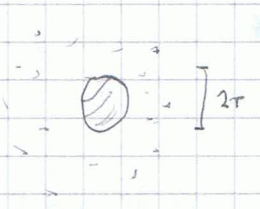
qualitative Erklärung:



Teilchen sehr leicht in Gasraum verschieben → weniger Energie nötig

zur Ablösung → höhere Dampfdruck bei gleicher T (thermische Energie)

quantitative Behandlung



$T = const.$

im Inneren des Tropfens:

im Gasraum:

Druck p''

Druck p'

chem. Potential $\mu''(p'', T)$

chem. Potential $\mu'(p', T)$

Young-Laplace: $p'' = p' + \frac{2\sigma}{r}$

thermodyn. GGL: $d\mu'(p', T) = d\mu''(p'', T)$

$$-\bar{s}' dT + \bar{v}' dp' = -\bar{s}'' dT + \bar{v}'' dp''$$

$dT=0:$

$$\bar{v}' dp' = \bar{v}'' dp''$$

Zusammhang aus Young-Laplace $p'' = p' + \frac{2\sigma}{r}$

$$\hookrightarrow dp'' = dp' + 2\sigma d\left(\frac{1}{r}\right)$$

$$\bar{v}' dp' = \bar{v}'' [dp' + 2\sigma d\left(\frac{1}{r}\right)]$$

$$\frac{\bar{v}' - \bar{v}''}{\bar{v}''} dp' = 2\sigma d\left(\frac{1}{r}\right)$$

Näherung: $\bar{v}' \approx \bar{v}''$ (weit entfernt von kritischen Punkt)

$\hookrightarrow \bar{v}' - \bar{v}'' \approx \bar{v}'$ mit Gay-Lussac's ideal: $\bar{v}' = \frac{RT}{p'}$

$$\hookrightarrow \frac{RT}{\bar{v}''} \cdot \frac{dp'}{p'} = 2\sigma d\left(\frac{1}{r}\right)$$

Integration: von ebenen Grenzfläche $r \rightarrow \infty$ mit $p' = p^*$

in gekrümmte Grenzfläche r mit $p' = p(r)$

$$\hookrightarrow \frac{RT}{\bar{v}''} \int_{p^*}^{p(r)} \frac{dp'}{p'} = 2\sigma \int_0^{\frac{1}{r}} d\left(\frac{1}{r}\right)$$

$$\hookrightarrow \frac{RT}{\bar{v}''} \ln \frac{p(r)}{p^*} = \frac{2\sigma}{r}$$

$$\hookrightarrow \ln \frac{p(r)}{p^*} = \frac{2\sigma \bar{v}''}{RT r} \rightarrow p(r) = p^* \exp\left(\frac{2\sigma \bar{v}''}{RT r}\right)$$

mit $\bar{v}'' = \frac{V}{n} = \frac{m}{\rho} \cdot \frac{1}{M} = \frac{M}{\rho}$

$$\hookrightarrow \underline{p(r) = p^* \cdot \exp\left(\frac{2\sigma M}{\rho RT r}\right)}$$

Kelvin-Gleichung

$\hookrightarrow p(r) > p^*$

homog

$p < p^*$

heterog

$r < 0$

Bsp. Wasser 25°C $G = 72 \frac{\text{N}}{\text{m}^2}$ $\dot{V}'' = 18 \frac{\text{cm}^3}{\text{m}^2}$

r	Kapillardruck p_g (bar)	$\frac{p(r)}{p^*}$
∞	0	1
1 μm	1,44	1,001
100 nm	14,4	1,011
10 nm	144	1,110
1 nm	1440	2,845

↳ Stabilität von Nebel bei hohen Luftfeuchte

Keimbildung: kleine Tröpfchen "verschafft" → Unterdrehung

- ↳ Ultratropfen Dampf
- ↳ kleine Tröpfchen
- ↳ hohe Dampfdruck
- ↳ verdunstet sofort
- ↳ kritische Keimbildung

- analog für Siedeverzug
- ↳ kleinerer Hohlraum mit höherem Dampfdruck → Keimbildung
- ↳ Siedeverzug



Teilchenvergrößerung Ostwald-Reifung

- ↳ Minimierung der Oberflächenenergie
- ↳ große Teilchen wachsen auf Kosten kleiner Teilchen

↳ analog polykristalline Fik



9.3 Benetzung und Kapillarität

Grenzflächengleichgewichte unter Beteiligung von 3 Phasen:
 nicht Aggregatzustand!

a) Benetzung fester Oberflächen



Kontaktwinkel / Randwinkel

↳ Benetzung $0 \leq \theta \leq 90^\circ$ entzettel $90^\circ < \theta \leq 180^\circ$

↑
vollständige Benetzung \rightarrow spreitende Flüssigkeit

Spreitung:



Suppose: Balance dreier Grenzflächenspannungen

| σ_s : minimiert die Oberfläche l/g

| σ_g : minimiert die Oberfläche s/g

| $\sigma_{s/g}$: " " Grenzfläche s/l



↳ Spannungsgleichgewicht:

$$\underline{\underline{\sigma_s = \sigma_{s/g} + \sigma_g \cdot \cos \theta}}$$

Youngsche Gleichung

$$\cos \theta = \frac{\sigma_s - \sigma_{s/g}}{\sigma_g} = \frac{\sigma_B}{\sigma_g} \leftarrow \text{Benetzungsspannung}$$

da $\sigma_g > 0$ $\sigma_s > \sigma_{s/g} \rightarrow \cos \theta > 0 \rightarrow 0^\circ < \theta < 90^\circ \Rightarrow$ Benetzung

↳ $\sigma_B > 0$

$\sigma_{s/g} > \sigma_s \rightarrow \cos \theta < 0 \rightarrow 90^\circ < \theta < 180^\circ \Rightarrow$ Entzettelung

↳ $\sigma_B < 0$

Problem: Schmelzkräfte \rightarrow in spröden Flüssigkeit \rightarrow Adhäsion

- Randzugspannung aus Randwinkelmessung experimentell zugänglich

$$\sigma_s = \sigma_s - \sigma_{s/l} = \underbrace{\sigma_l \cdot \cos \theta}_{\substack{\text{aus Neigungswinkel} \\ \text{aus Randwinkelmessung}}}$$

$$\sigma_{s/l} = f(\sigma_s, \sigma_l)$$

1. bekannt
2. Beziehung wenn $\sigma_s / \sigma_{s/l}$ bekannt

- Problem: Bestimmung der FK-Oberflächenenergie

wirkliche Annahmen wie $\sigma_{s/l} = f(\sigma_s, \sigma_l)$ notwendig; dann σ_s aus σ_l und $\cos \theta$ zugänglich

Adhäsionsarbeit

Berechnete Einheitfläche vor / nach Reaktion:



2 Oberflächen s/g; l/g

1 Grenzfläche s/l

$$\Delta W_{s/l} = \underbrace{\sigma_s + \sigma_l}_{\text{vor}} - \underbrace{\sigma_{s/l}}_{\text{nach}} = \sigma_l + \underbrace{\sigma_s - \sigma_{s/l}}_{\sigma_g = \sigma_l \cos \theta}$$

$$\hookrightarrow \underline{\underline{\Delta W_{s/l} = \sigma_l (1 + \cos \theta)}}$$

Arbeit um beide Phasen zu trennen

$\hookrightarrow \theta = 180^\circ \rightarrow \Delta W = 0 \rightarrow$ bei vollständiger Entmischung
keine angesetzte WW
 \hookrightarrow keine Haftung

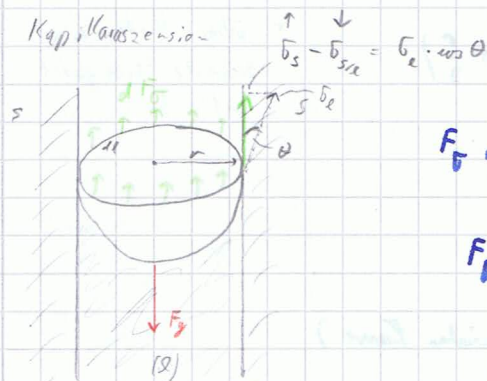
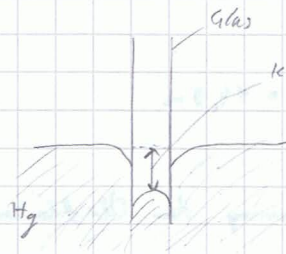
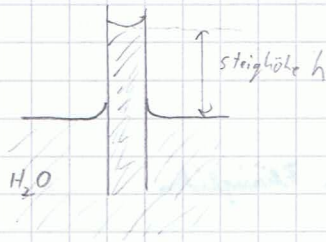


c) Kapillarität

Auf-/ Absteigen von Flüssigkeiten in dünnen Kapillaren:

benetzende Flüssigkeit:

unbenetzende Flüssigkeit:



Kapillarsenkung

Kapillarerhebung

F_g von Randtension:

$$F_g = \oint dF_g = \oint \sigma_c \cdot \cos \theta \, dl$$

$$= \sigma_c \cos \theta \oint dl = 2\pi r \sigma_c \cos \theta$$

Umschwerung der Flüssigkeitssäule $F_g = m \cdot g = \rho V g = \rho g \pi r^2 h$

Gleichgewicht: $F_g = F_s$

$$\rho g \pi r^2 h = 2\pi r \sigma_c \cos \theta$$

$$h = \frac{2\sigma_c \cos \theta}{\rho g} \cdot \frac{1}{r}$$

im Vakuum

Näherung: - in Luft: $\rho = \rho - \rho_0$ Auftrieb
Dichte Luft

- Flüssigkeit an Rand des Meniskus

genaue Rechnung:

Korrektur Auftrieb: $\rho \rightarrow \rho - \rho_0$

Gewicht Meniskus:

$$h = \frac{2\sigma_c \cos \theta}{(\rho - \rho_0) g r} = \frac{\sigma}{\rho g r}$$

Bsp.: Wasser, vollständig benetzbar, von $\theta \rightarrow 1$, $\sigma = 73 \frac{N}{m}$ (25°C), $\rho = 1 \frac{g}{cm^3}$

r	h / mm
$r = 1 mm$	14,9
100 μm	149
10 μm	1490
1 μm	14900 = 14,9 m

↳ genaueste Methode zur Bestimmung der Oberflächenspannung von Flüssigkeiten

(~ 0,2 %) mit Konstanten

$$\sigma_c = \frac{\rho g r}{2 \cos \theta} h \quad \sigma_c = \frac{(\rho - \rho_0) g r}{2 \cos \theta} \left(h + \frac{r}{3} \right)$$

r über Eintauchtiefe in bekannte Flüssigkeit bestimmbar

4.4 Grenzflächenbewegungen in Mischungen

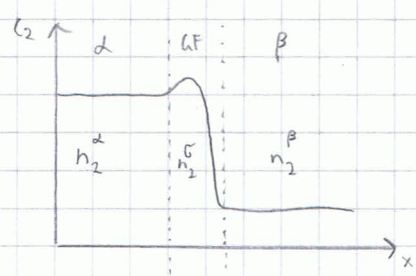
Betrachte z.B. wässrige Lösung (eines Salzes, einer organischen Lösung)

Komponente 1: LM

Komponente 2: gelöster Stoff

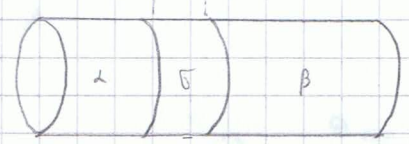
⇒ An- bzw. Abwanderung des gelösten Stoffes im Bereich der GF

J.W. Gibbs: Grenzfläche als "Phase" aber 2D

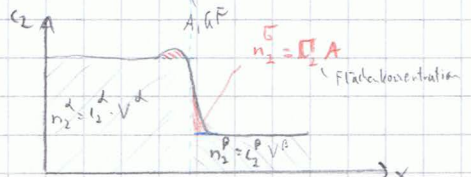


$$n_{ges} = n_2^\alpha + n_2^\beta + n_2^\sigma$$

← Berechnung, da schwer messbar



Modell



↳ Grenzflächenberechnungen

Conced $\Gamma_2 = \frac{n_2^{\sigma}}{A}$ mit $n_2^{\sigma} = n_{g2} - n_2^L - n_2^B$

(Exzessgröße (kann positiv oder negativ sein))

↳ Abweichung vom ideale ($n_2^{\sigma} = 0$)

↳ $\Gamma_2 = \frac{n_{g2} - (n_2^L + n_2^B)}{A}$

Γ_2 ist

- eine Exzessgröße: $\Gamma_2 \geq 0$ möglich

$\Gamma_2 > 0$ $n_{g2} > (n_2^L + n_2^B)$ Anreicherung
 $\Gamma_2 < 0$ $n_{g2} < (n_2^L + n_2^B)$ Abreicherung } an der Grenzfläche

- nicht direkt messbar

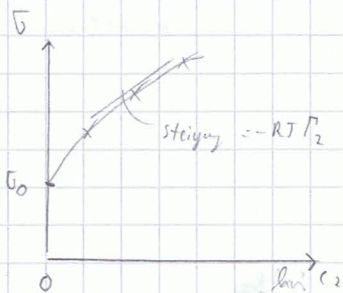
- zugänglich aus Konzentrationsabhängigkeit der Oberflächenspannung

↳ Gibbs'sche Adsorptionsgleichung

Aktivität: dimensionslos
 thermodynamisch aktive Konzentration

$\Gamma_2 = - \frac{1}{RT} \left(\frac{\partial \sigma_{\alpha,\beta}}{\partial \ln a_2} \right)_{p,T} \approx - \frac{1}{RT} \left(\frac{\partial \sigma_{\alpha,\beta}}{\partial \ln \frac{c_2}{c_2^0}} \right)_{p,T}$

standard Konzentration



Ableitung:

da G extensive Größe

Endzustandsgleichung für $G^{\sigma}(p, T, n_i, A)$

$dG^{\sigma} = V dp - S dT + \sum \mu_i dn_i + \sigma dA$

↳ $p, T = \text{const}$

$dG^{\sigma} = \sum \mu_i dn_i + \sigma dA$ (1)

G ist homogene Funktion 1. Grades

(also exzessiv in n_i und A)

da G^{σ} "homogene Funktion 1. Grades" (extensiv) in n und A:

$G^{\sigma}(\lambda n_i) = \lambda \cdot G^{\sigma}(n_i)$

2. Grades: $G(\lambda n) = \lambda^2 f(n)$

z.B. 3

$$\hookrightarrow \left. \begin{aligned} G^{\sigma}(\lambda n_i) &= \lambda G^{\sigma}(n_i) \\ G^{\sigma}(\lambda A) &= \lambda G^{\sigma}(A) \end{aligned} \right\} \lambda, \lambda' > 0$$

folgt für die Integration von (1). Satz von Euler:

$$G^{\sigma} = \sum \mu_i n_i + \sigma A$$

Differenzieren liefert:

$$dG^{\sigma} = \sum \mu_i dn_i + \sum n_i d\mu_i + \sigma dA + A d\sigma \quad (2)$$

Vergleich mit Gleichung (1) liefert: $\sum n_i d\mu_i + A d\sigma = 0 \quad p, T = \text{const}$

vgl. Gibbs-Laden: $\sum n_i d\mu_i = 0 \quad p, T = \text{const}$

Betrachte System aus 2 Komponenten: (1..LM)

$$n_1^{\sigma} d\mu_1 + n_2^{\sigma} d\mu_2 + A d\sigma = 0 \quad | : A$$

$$\Gamma_1^{\sigma} d\mu_1 + \Gamma_2^{\sigma} d\mu_2 + d\sigma = 0$$

Grenzfläche wird so gelegt,

dass $\Gamma_1^{\sigma} = 0$

Wähle die Lage der 2D-GF so, dass $\Gamma_1^{\sigma} = 0$

$$\Gamma_2^{\sigma} d\mu_2 + d\sigma = 0$$

$$\text{mit } \mu_2 = \mu_2^*(p, T) + RT \ln a_2$$

$$\mu = \mu_0 + RT \ln a;$$

$$\hookrightarrow d\mu_2 = \underbrace{d\mu_2^*(p, T)}_{=0 \text{ da } p, T = \text{const}} + RT d \ln a_2$$

$$\hookrightarrow \Gamma_2^{\sigma} RT d \ln a_2 + d\sigma = 0$$

$$\hookrightarrow \underline{\Gamma_2^{\sigma} = -\frac{1}{RT} \left(\frac{\partial \sigma}{\partial \ln a_2} \right)_{p, T}}$$

Gibbs'sche Adsorptionsisotherme

keine Näherungen verwenden!

Bei verdünnten Lösungen: $a_2 = \frac{c_2}{c^{\text{mol}}} \cdot \frac{1}{c}$

$$\hookrightarrow \underline{\Gamma_2^{\sigma} = -\frac{1}{RT} \left(\frac{\partial \sigma}{\partial \ln \frac{c_2}{c^{\text{mol}}}} \right)_{p, T}}$$

Fallunterscheidungen:

i) σ steigt mit steigender Konz. c_2 des Gelösten

$\hookrightarrow \frac{\partial \sigma}{\partial \ln \frac{c_2}{c_1}} > 0 \rightarrow \Gamma_2 < 0$

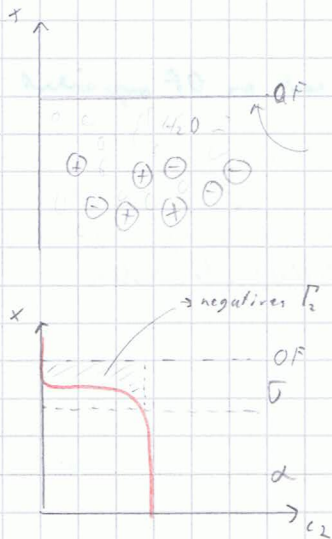
\hookrightarrow Grenzfläche verarmt an gelöster Substanz

\hookrightarrow "querflächennormalis" oder "kapillarenormalis" Substanzen

Bsp.: Lactose (Lose), niedermolekulare Zucker, Glykole

starke H-Brücken
 \hookrightarrow starke WW mit H_2O
 \hookrightarrow energetisch günstiger in Volumen

im Falle Substanz
 an GF
 \hookrightarrow energetisch ungünstig



! an OF hat nur halbe Substanz

ii) σ fällt mit steigender Konz. c_2 des Gelösten

$\hookrightarrow \frac{\partial \sigma}{\partial \ln \frac{c_2}{c_1}} < 0 \rightarrow \Gamma_2 > 0$

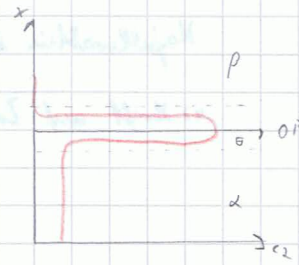
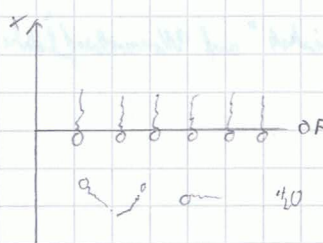
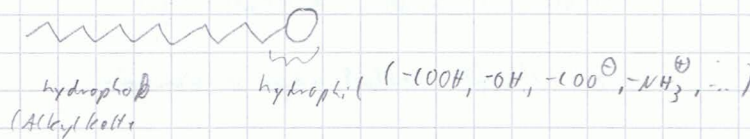
\hookrightarrow Grenzfläche mit gelöster Substanz angereicht

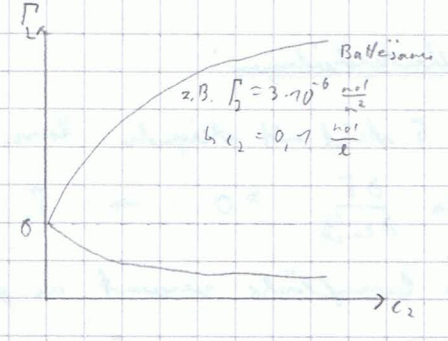
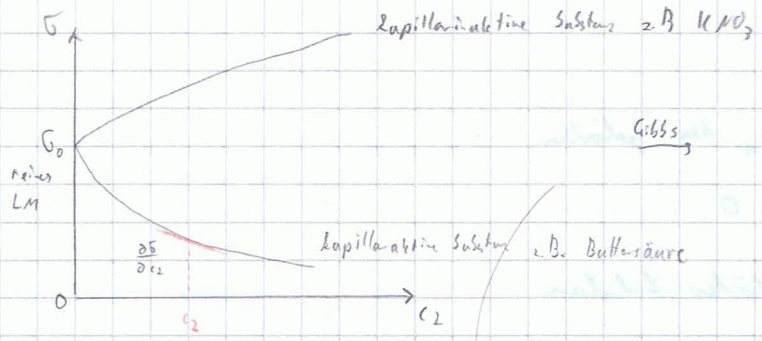
\hookrightarrow "querflächennormalis" oder "kapillarenormalis" Substanzen

surface active agent

Bsp.: ungesättigte Alkohole, Carbonsäuren, "Zerids" (= Surfactant)

\hookrightarrow amphiphile Aufbau





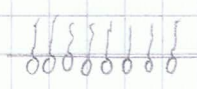
Regel von Traube

Kapillaraktivität organischer Moleküle einer homologen Reihe (z.B. $H_3C + (H_2C)_n$)

steigt kontinuierlich mit Kettenlänge n.

Fettsäuren ab n=10: praktisch wasserunlöslich, werden nur noch an OF angereichert

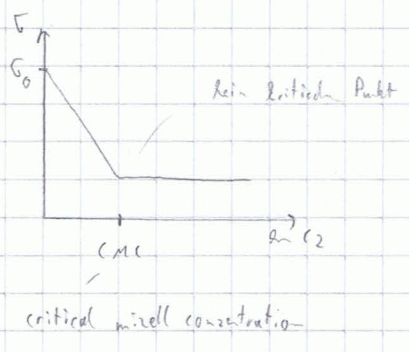
↳ Oberflächenfilm



→ Mizellbildung, wenn mehr c_2 vorhanden, als an Oberfläche unterbringen



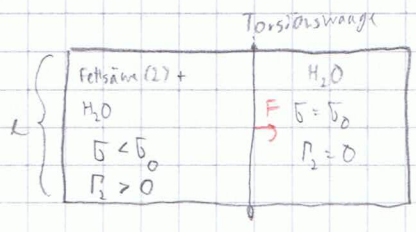
↳ schaffen von neuer Oberfläche



Speichungsdruck von Oberflächenfilmen

F proportional zu λ

1. Langmuir, Filmverweil

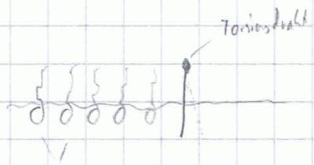


→ kleines Γ → kleine Oberflächenenergie

→ Triebkraft Oberflächenenergie zu minimieren

Kapillaraktive Substanzen „speichern“ auf Wasser-Oberfläche

⇒ Kraft auf Torsionswaage



Absorption durch z.B. geladene Kopfgruppe

$$F = (\sigma_0 - \sigma) \cdot l$$

auch
osmotische
Wasser
→ Anpassung

$$\hookrightarrow \pi = \sigma_0 - \sigma = \frac{F}{l}$$

Spreitungsdruck

Annahme / Näherung:

σ nimmt linear mit der Konzentration c_2 der Kapillarmoleküle zu, also

$$\sigma = \sigma_0 - k \cdot c_2$$

$$\hookrightarrow \sigma = \sigma_0 - \sigma = k c_2 \quad \left(\frac{\partial \sigma}{\partial c_2} \right)_{p,T} = -k$$

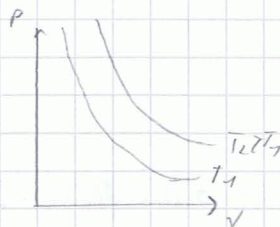
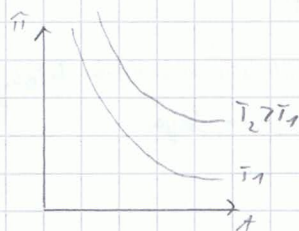
$$\pi = - \left(\frac{\partial \sigma}{\partial c_2} \right)_{p,T} \cdot c_2 = - \left(\frac{\partial \sigma}{\partial c_2} \right)_{p,T}$$

Gibbs-Helmholtz: $p_2 = - \frac{1}{RT} \left(\frac{\partial \sigma}{\partial n_2} \right)_{p,T} = \frac{\pi}{RT}$

mit $p_2 = \frac{n_2^s}{A}$

$$\hookrightarrow \frac{n_2^s}{A} = \frac{\pi}{RT} \rightarrow \underline{\underline{\pi A = n_2^s RT}} \quad \text{2D-identer-Gas}$$

$\hookrightarrow \pi A$ Zustandsumme (analog pV -Zustandsumme)

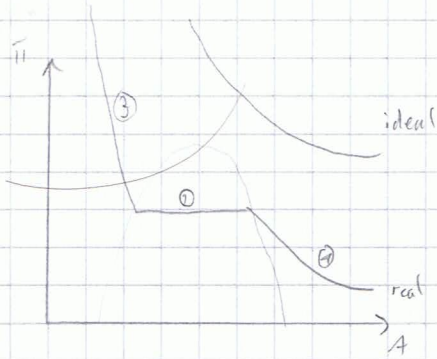


Boyle-Mariotte

Platzbedarf der Teilchen viel kleiner als Gesamtoberfläche

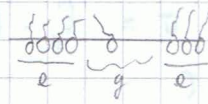
Problem: lausche Kopfgruppen → starke WW → Idealer Gas

Reales Verhalten (→ von der Wäcks)

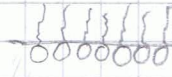


① gasförmige Eibe

② Zuspitzungslin

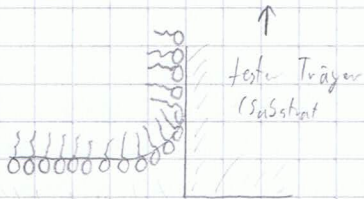


③ Zandweite Eibe (fl. oder feste Phase)



je nach Beweglichkeit bzw. 2D-Fernordnung

Anwendung: Langmuir - Blodgett - Schichten (LB-Filme)



auch mehrschicht möglich

mit anderen Amphiphil

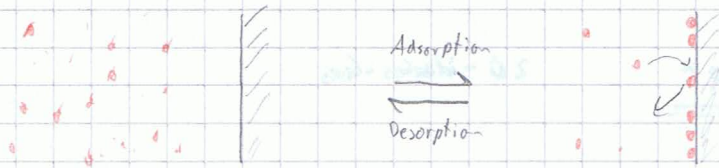
↳ Schichtstruktur

↳ Zellmembran

○ — ○
○ — ○
○ — ○
○ — ○

4.5 Adsorption an Festkörpersoberflächen

dynamischer Gleichgewicht (stark T abhängig) Loken T → alles Desorbiert
↳ $\theta = 0$



charakterisiert durch Bedeckungsgrad

Adsorbat

Adsorbens (z.B. Festkörpersoberfläche)

$$\theta = \frac{A_{\text{bedeckt}}}{A_{\text{ges}}}$$

(Moleküle in Gasphase oder in Lösung)

$\theta = 1$ vollständige monomolekulare Bedeckung

$\theta > 1$ → mehrere Schichten

Adsorbier Teilchen weniger Einheitsgewicht (Monomolekular) → eher flüssiger Zustand

↳ Adsorption $\hat{=}$ Kondensation einer Gasen (→ Adsorptionswärme < 0 → Kondensationswärme)

↳ da Entropie verringert wird (geordneter Zustand)

$$\Delta G = \Delta H - T \Delta S$$

$\Delta H < 0$ $\Delta S < 0$

↳ $\Delta G < 0$

Absorptionsmoleküle "Lösungen" auf Oberfläche

$$\Rightarrow \text{i. allg.}: \Delta_{\text{Ads}} S < 0!$$

$$\hookrightarrow \Delta_{\text{Ads}} H < 0$$

Analogie: Kondensation - Adsorption

Verdampfung - Desorption

Temperaturerhöhung
(Gases wird Adsorbiert, das
andere nicht)
 \hookrightarrow danach keine \rightarrow Desorption

\hookrightarrow thermodynamische Behandlung analog (Clausius-Clapeyron)

$$d\mu_g(p, T, \theta) = d\mu_s(p, T)$$

$$\bar{V}_g dp - \bar{S}_g dT + \left(\frac{\partial \mu}{\partial \theta}\right)_{p, T} d\theta = \bar{V}_s dp - \bar{S}_s dT$$

isotherm. Fall ($d\theta = 0$)

Es sei $\theta = \text{const} \rightarrow d\theta = 0$ isotherm

$$\bar{V}_g dp - \bar{S}_g dT = \bar{V}_s dp - \bar{S}_s dT$$

$$\left(\frac{\partial p}{\partial T}\right)_{\theta} = \frac{\bar{S}_s - \bar{S}_g}{\bar{V}_s - \bar{V}_g}$$

$$\bar{S}_s - \bar{S}_g = \frac{\overset{\text{Enthalpie}}{H_s} - \overset{\text{Enthalpie}}{H_g}}{T} = \frac{\Delta_{\text{Ads}} H}{T}$$

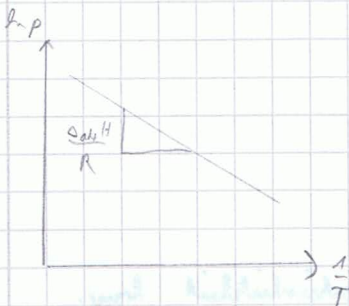
$$\bar{V}_s - \bar{V}_g \underset{\text{ideal}}{\approx} -\bar{V}_g \underset{\text{ideal}}{\approx} -\frac{RT}{p}$$

$\Delta_{\text{Ads}} H < 0 \Leftrightarrow \Delta_{\text{Des}} H > 0$

$$\hookrightarrow \left(\frac{\partial p}{\partial T}\right)_{\theta} = -\frac{\Delta_{\text{Ads}} H}{RT^2} p \quad \rightarrow \quad \underline{\underline{\left(\frac{\partial \ln p}{\partial T}\right)_{\theta} = -\frac{\Delta_{\text{Ads}} H}{RT^2}}}$$

$$\hookrightarrow \ln p = \frac{\Delta_{\text{Ads}} H}{R} \frac{1}{T} + \text{const}$$

Absorptionsdruck im GKW



chemisorption \rightarrow chemische Bindung entsteht \rightarrow spezifisch

physisorption \rightarrow Van der Waals etc \rightarrow unspezifisch
existieren immer, aber
schwächer Bindung

Mehrschichtbedeckung möglich

4.5.1 Chemi- und Physisorption

a) Chemisorption

- spez., gerichtetes chem. Bindung zw. Adsorbat und Adsorbens
- max. vollständig monomolekular
Bedeckung $\Theta = 1$
- große Adsorptionsenthalpien, die vergleichbar mit Reaktionsenthalpien sind $\approx 900 - 1000 \frac{\text{kJ}}{\text{mol}}$
- nicht unbedingt reversibel
(z.B. O_2 an Aktivstelle $\xrightarrow{+T}$ Desorption als CO)

b) Physisorption

- Adsorption durch ungerichtete, phys. WW
(z.B. van der Waals WW)
- Adsorption mehrere Schichten
möglich \rightarrow Mehrschichtadsorption
- vergleichbar mit Kondensationsenthalpien
 $\Delta_{\text{ads}} \bar{H} \approx -\Delta_{\text{kon}} \bar{H} \approx -[1-10] \frac{\text{kJ}}{\text{mol}}$
- reversibel

idealisierte Grenzfälle

physisorption tritt IMMER auf

4.5.2 Langmuir - Isotherme



Näherung: - kein WW zwischen adsorbierten Teilchen

- jeder Platz ausgefüllt gleich (Kernung vernachlässigt)

Anahme: - gleichartige Adsorptionsstellen

- kein WW zwischen adsorbierten Teilchen

Adsorptionswahrscheinlichkeit bzw.

Adsorptionsenthalpie unabhängig von

Bedeckungsgrad Θ $\Delta_{\text{ads}} \bar{H} \neq f(\Theta)$

Kinetics Rechnung:

Adsorptionsgeschwindigkeit: $v_A = k_A p (1 - \theta)$

~ Konz. der freien Adsorptionsstellen

freie Adsorptionsstellen

Desorptionsgeschwindigkeit: $v_D = k_D \theta$

~ Konz. der adsorbierten Moleküle

in dynamischen GG: $v_A = v_D$

$k_A p (1 - \theta) = k_D \theta$

$k_A p = \theta (k_D + k_A p)$

$\theta = \frac{k_A p}{k_D + k_A p}$

$\theta = \frac{p}{\frac{k_D}{k_A} + p} = \frac{p}{b + p}$ Langmuir-Isotherme

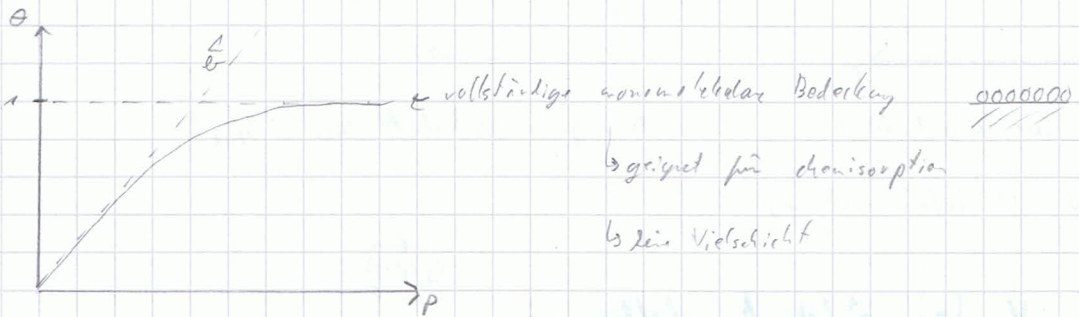
alternativ: $\frac{b \cdot p}{1 + b \cdot p}$ $b = \frac{1}{b}$

Diskussion: (i) hohe Drücke $p \gg b$

$\theta = \frac{p}{b + p} \approx 1$ → vollständige monomolekulare Bedeckung

(ii) niedrige Drücke $p \ll b$

$\theta = \frac{p}{b + p} \approx \frac{p}{b} = \frac{1}{b} \cdot p$ θ steigt linear mit p



experimentell: Messung der adsorbierten Stoffmenge n_A :

$n_A \sim \theta$ $n_A = B \theta$ → $n_A = \frac{B p}{b + p}$



Anzahl an Teilchen \cdot Platzbedarf eines Teilchens \cdot W

$A = N_A \cdot n_{A,max} \cdot W$

9.5.3 BET-Modell

H-Bond

nach Brunauer, Emmett, Teller

auch Mehrschichtadsorption (Physisorption)



für Analyse der 1. Schicht: Adsorptionsenthalpie

- weitere Schichten: Kondensationsenthalpie

ohne Herleitung: $\theta = \frac{V_{ads}}{V_{max}} = \frac{c \cdot \frac{p}{p^*}}{(1 + \frac{p}{p^*}) [1 + (c-1) \frac{p}{p^*}]}$

Dampfdruck des Adsorbats (rein)

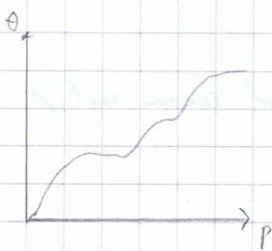
V_{ads} : ads. Gasvolumen

V_{max} : in einer Monoschicht ads. Gasvolumen aus Auftragung bestimmen, nicht direkt messbar

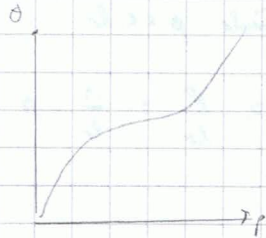
p : Adsorptionsdruck

p^* : Dampfdruck des reinen flüssigen Adsorbats (bei gleicher T)

$c = \exp\left(-\frac{(\Delta_{ads} \bar{H} - \Delta_{cond} \bar{H})}{RT}\right)$



größter Unterschied ΔH



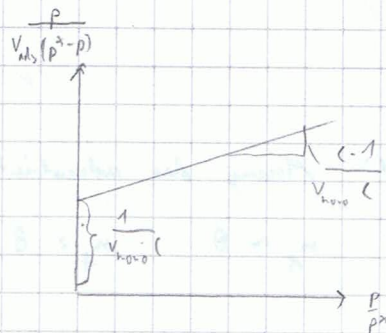
kein großer Unterschied $\Delta_{ads} \bar{H} - \Delta_{cond} \bar{H}$

↳ Verlauf nicht einfach vorherzusagen

Man kann $V_{ads}(p)$, p^* bekannt, auftragen:

$$\frac{p}{V_{ads}(p^* - p)} = \frac{1}{V_{max} \cdot c} + \frac{c-1}{V_{max} \cdot c} \cdot \frac{p}{p^*}$$

$y = a + b \cdot x$



↳ $c < V_{max}$

↳ aktive Adsorbentoberfläche

wieder angeordnete Absorptionssysteme:

Fremdlich-Isotherme

Oberfläche nicht homogen

$$\theta = k \cdot p^{\frac{1}{n}}$$

k, n systemspez. Konstanten

heterogene Oberfläche mit Adsorptionszentren unterschiedlicher Aktivität
 \hookrightarrow Summe von Langmuir-Isothermen für jeden Zentrenstyp

Temkin-Isotherme

$$\theta = B \cdot \ln(p/p_0)$$

$\Delta_{ads} H^\ddagger$ nimmt mit der Bedeckung / Druck ab.